

1 Decay Scheme

Pa-234 disintegrates 100% by beta minus emissions to levels in U-234.

Le protactinium 234 se désintègre par émissions bêta moins vers des niveaux excités de l'uranium 234.

2 Nuclear Data

$$T_{1/2}(^{234}\text{Pa}) : 6,70 \quad (5) \quad \text{h}$$

$$Q^-(^{234}\text{Pa}) : 2195 \quad (4) \quad \text{keV}$$

2.1 β^- Transitions

	Energy keV	Probability $\times 100$	Nature	lg ft
$\beta_{0,77}^-$	51 (4)	0,42 (5)		4,98
$\beta_{0,76}^-$	79 (4)	0,21 (3)		5,87
$\beta_{0,75}^-$	94 (4)	0,064 (11)		6,6
$\beta_{0,74}^-$	126 (4)	0,40 (7)		6,21
$\beta_{0,73}^-$	129 (4)	0,140 (24)		6,69
$\beta_{0,72}^-$	158 (4)	0,055 (8)		7,37
$\beta_{0,71}^-$	161 (4)	0,90 (15)		6,19
$\beta_{0,70}^-$	175 (4)	0,112 (16)		7,2
$\beta_{0,69}^-$	195 (4)	0,122 (16)		7,31
$\beta_{0,68}^-$	214 (4)	0,59 (8)		6,75
$\beta_{0,67}^-$	226 (4)	0,044 (12)		7,95
$\beta_{0,66}^-$	236 (4)	0,44 (19)		7,01
$\beta_{0,65}^-$	254 (4)	0,35 (5)		7,22
$\beta_{0,64}^-$	267 (4)	0,22 (4)		7,49
$\beta_{0,63}^-$	279 (4)	0,21 (3)		7,56
$\beta_{0,62}^-$	313 (4)	0,25 (3)		7,65
$\beta_{0,61}^-$	332 (4)	0,029 (7)		8,66
$\beta_{0,60}^-$	351 (4)	0,17 (3)		7,97

	Energy keV	Probability $\times 100$	Nature	lg <i>ft</i>
$\beta_{0,59}^-$	383 (4)	1,43 (15)		7,17
$\beta_{0,58}^-$	402 (4)	0,41 (8)		7,78
$\beta_{0,57}^-$	411 (4)	0,061 (11)		8,64
$\beta_{0,56}^-$	412 (4)	8 (3)		6,53
$\beta_{0,55}^-$	424 (4)	0,129 (17)		8,36
$\beta_{0,54}^-$	433 (4)	2,8 (4)		7,05
$\beta_{0,53}^-$	457 (4)	0,78 (19)		7,68
$\beta_{0,52}^-$	458 (4)	1,16 (14)		7,51
$\beta_{0,50}^-$	472 (4)	8,4 (9)	1st Forbidden	6,7
$\beta_{0,51}^-$	472 (4)	36 (5)	Allowed	6,06
$\beta_{0,49}^-$	502 (4)	6,9 (8)	1st Forbidden	6,87
$\beta_{0,48}^-$	542 (4)	0,95 (13)		7,84
$\beta_{0,47}^-$	545 (4)	0,18 (4)		8,64
$\beta_{0,46}^-$	576 (4)	0,035 (20)		9,36
$\beta_{0,45}^-$	606 (4)	< 0,7		> 8,1
$\beta_{0,44}^-$	613 (4)	0,05 (3)		9,3
$\beta_{0,43}^-$	642 (4)	19,6 (18)	Allowed	6,77
$\beta_{0,42}^-$	647 (4)	0,078 (20)		9,18
$\beta_{0,41}^-$	651 (4)	0,10 (9)		9,1
$\beta_{0,40}^-$	658 (4)	< 0,9		> 8,1
$\beta_{0,39}^-$	662 (4)	0,21 (4)		8,79
$\beta_{0,38}^-$	693 (4)	0,25 (4)		8,78
$\beta_{0,37}^-$	699 (4)	< 2,7		> 7,8
$\beta_{0,36}^-$	709 (4)	0,12 (3)		9,14
$\beta_{0,34}^-$	747 (4)	0,11 (3)		9,25
$\beta_{0,31}^-$	883 (4)	0,109 (18)		9,5
$\beta_{0,26}^-$	980 (4)	0,30 (12)		9,22
$\beta_{0,25}^-$	1000 (4)	< 1,5		> 8,5
$\beta_{0,22}^-$	1067 (4)	1,9 (10)		8,54
$\beta_{0,18}^-$	1104 (4)	0,69 (20)		9,04
$\beta_{0,16}^-$	1126 (4)	< 8	1st Forbidden	> 8
$\beta_{0,15}^-$	1171 (4)	1,5 (13)		8,8
$\beta_{0,14}^-$	1171 (4)	< 5	1st Forbidden	> 8,3
$\beta_{0,13}^-$	1206 (4)	< 3,1	Unique 1st Forbidden	> 8,5
$\beta_{0,12}^-$	1227 (4)	< 2,5	Allowed	> 8,6
$\beta_{0,11}^-$	1232 (4)	< 0,4		> 9,4
$\beta_{0,10}^-$	1247 (4)	< 0,8	Allowed	> 9,2
$\beta_{0,7}^-$	1346 (4)	< 0,8	1st Forbidden	> 9,3
$\beta_{0,2}^-$	2052 (4)	< 5	Allowed	> 9,2

2.2 Gamma Transitions and Internal Conversion Coefficients

	Energy keV	$P_{\gamma+ce}$ $\times 100$	Multipolarity	α_K	α_L	α_M	α_T
$\gamma_{14,13}(U)$	34,30 (4)	8,4 (9)	(E2)		1660 (30)	457 (7)	2270 (40)
$\gamma_{8,6}(U)$	41,82 (11)	0,28 (8)					
$\gamma_{1,0}(U)$	43,49 (2)	86 (23)	E2		520 (8)	143,7 (21)	713 (11)
$\gamma_{16,14}(U)$	45,45 (5)	6,8 (44)	M1+E2		190 (100)	50 (30)	250 (140)
$\gamma_{14,12}(U)$	54,96 (10)	$\sim 0,0094$	[E1]		0,453 (7)	0,1123 (17)	0,603 (9)
$\gamma_{15,12}(U)$	54,96 (10)	$\sim 1,23$	[M1+E2]		90 (80)	26 (21)	130 (110)
$\gamma_{45,39}(U)$	55,45 (5)	0,043 (14)	(E1)		0,443 (7)	0,1097 (16)	0,589 (9)
$\gamma_{22,16}(U)$	58,20 (6)	0,47 (16)	(E2)		126,9 (19)	35,1 (6)	174 (3)
$\gamma_{56,51}(U)$	59,19 (5)	2,9 (25)	[M1+E2]		70 (50)	18 (15)	90 (70)
$\gamma_{13,9}(U)$	62,70 (1)	2,3 (7)	E1		0,320 (5)	0,0791 (11)	0,426 (6)
$\gamma_{25,22}(U)$	67,25 (10)	2,1 (8)	M1+E2		42 (8)	11,5 (22)	57 (11)
$\gamma_{25,20}(U)$	69,46 (5)	0,7 (6)	[E2,M1]		32 (23)	9 (7)	40 (30)
$\gamma_{31,27}(U)$	75,0 (3)	0,031 (7)					
$\gamma_{16,13}(U)$	79,84 (2)	2,4 (9)	E2		28,0 (4)	7,76 (11)	38,4 (6)
$\gamma_{14,9}(U)$	97,17 (10)	0,27 (10)	[E1]		0,1012 (15)	0,0248 (4)	0,1343 (20)
$\gamma_{2,1}(U)$	99,86 (2)	46 (9)	E2		9,77 (14)	2,71 (4)	13,42 (19)
$\gamma_{16,12}(U)$	100,89 (2)	0,140 (27)	[E1]		0,0917 (13)	0,0224 (4)	0,1218 (17)
$\gamma_{22,14}(U)$	103,77 (2)	2,93 (49)	(E2)		8,17 (12)	2,27 (4)	11,22 (16)
$\gamma_{16,11}(U)$	106,68 (5)	0,17 (5)	[M1]		2,89 (4)	0,699 (10)	3,83 (6)
$\gamma_{25,16}(U)$	125,46 (1)	4,7 (7)	E2	0,216 (3)	3,41 (5)	0,945 (14)	4,89 (7)
$\gamma_{43,33}(U)$	131,30 (1)	23 (2)	E1	0,204 (3)	0,0463 (7)	0,01128 (16)	0,265 (4)
$\gamma_{51,45}(U)$	134,61 (2)	1,20 (24)	M1	7,54 (11)	1,480 (21)	0,358 (5)	9,50 (14)
$\gamma_{21,13}(U)$	137,23 (5)	0,033 (11)	[E1]	0,184 (3)	0,0413 (6)	0,01006 (15)	0,239 (4)
$\gamma_{13,7}(U)$	140,15 (2)	3,2 (10)	M1+E2	2,9 (22)	1,76 (25)	0,47 (9)	5,3 (18)
$\gamma_{49,43}(U)$	140,91 (3)	0,38 (6)	[E1]	0,1732 (25)	0,0386 (6)	0,00940 (14)	0,224 (4)
$\gamma_{33,30}(U)$	143,78 (2)	2,02 (32)	(M1+E2)	3,24	1,532	0,403	5,31
$\gamma_{30,22}(U)$	149,88 (3)	0,24 (7)	[E2]	0,220 (3)	1,526 (22)	0,422 (6)	2,31 (4)
$\gamma_{3,2}(U)$	152,71 (2)	18,8 (22)	E2	0,217 (3)	1,404 (20)	0,388 (6)	2,14 (3)
$\gamma_{33,28}(U)$	159,48 (2)	0,77 (12)	[E1]	0,1303 (19)	0,0282 (4)	0,00684 (10)	0,1676 (24)
$\gamma_{22,11}(U)$	164,94 (5)	0,23 (14)	[E2,M1]	2,2 (21)	0,91 (9)	0,24 (4)	3,5 (19)
$\gamma_{64,54}(U)$	165,61 (5)	0,084 (25)	[E1]	0,1194 (17)	0,0256 (4)	0,00622 (9)	0,1533 (22)
$\gamma_{51,43}(U)$	170,85 (2)	2,97 (41)	M1	3,84 (6)	0,749 (11)	0,181 (3)	4,83 (7)
$\gamma_{14,7}(U)$	174,55 (3)	0,66 (31)	[M1+E2]	1,9 (18)	0,74 (4)	0,193 (23)	2,9 (17)
$\gamma_{51,41}(U)$	179,80 (8)	0,23 (8)	[M1]	3,33 (5)	0,648 (10)	0,1567 (22)	4,19 (6)
$\gamma_{51,40}(U)$	186,15 (2)	8,5 (9)	M1	3,02 (5)	0,587 (9)	0,142 (2)	3,79 (6)
$\gamma_{56,45}(U)$	193,73 (3)	1,6 (7)	[M1+E2]	1,4 (13)	0,510 (16)	0,132 (6)	2,1 (13)
$\gamma_{23,12}(U)$	196,80 (5)	0,22 (12)	E0+E2+M1	1,4 (13)	0,483 (21)	0,124 (4)	2,0 (13)
$\gamma_{21,9}(U)$	199,95 (5)	0,22 (12)	(E0+E2+M1)	1,4 (13)	0,483 (21)	0,124 (4)	2,0 (13)
$\gamma_{4,3}(U)$	200,97 (3)	1,56 (23)	E2	0,1534 (22)	0,424 (6)	0,1166 (17)	0,734 (11)
$\gamma_{13,5}(U)$	203,12 (3)	3,0 (6)	M1+E2	0,8 (4)	0,422 (10)	0,1113 (16)	1,4 (4)
$\gamma_{16,7}(U)$	220,00 (8)	0,49 (8)	(M1)	1,89 (3)	0,366 (6)	0,0886 (13)	2,37 (4)
$\gamma_{66,53}(U)$	221,15 (10)	0,056 (24)	[E1]	0,0615 (9)	0,01248 (18)	0,00302 (5)	0,0780 (11)
$\gamma_{37,29}(U)$	221,83 (10)	0,110 (33)	[E2]	0,1301 (19)	0,280 (4)	0,0767 (11)	0,513 (8)
$\gamma_{33,25}(U)$	226,50 (3)	11,3 (20)	M1+E2	0,9 (3)	0,297 (15)	0,0759 (23)	1,3 (3)
$\gamma_{51,37}(U)$	227,25 (3)	18,4 (19)	M1	1,724 (25)	0,335 (5)	0,0809 (12)	2,17 (3)
$\gamma_{25,11}(U)$	232,21 (3)	0,40 (16)	[E2,M1]	0,9 (8)	0,27 (5)	0,070 (7)	1,2 (8)
$\gamma_{17,8}(U)$	233,6 (2)	$\sim 0,019$					
$\gamma_{66,51}(U)$	235,11 (3)	0,122 (25)	[E1]	0,0536 (8)	0,01075 (15)	0,00260 (4)	0,0678 (10)
$\gamma_{17,7}(U)$	235,9 (30)	0,005 (3)					
$\gamma_{58,43}(U)$	240,2 (1)	0,11 (6)	[M1,E2]	0,8 (7)	0,24 (5)	0,062 (8)	1,1 (8)
$\gamma_{56,40}(U)$	245,37 (2)	2,09 (30)	M1	1,392 (20)	0,270 (4)	0,0652 (10)	1,749 (25)
$\gamma_{27,13}(U)$	247,79 (7)	0,00037 (4)					
$\gamma_{33,24}(U)$	249,22 (1)	2,65 (42)	E1	0,0470 (7)	0,00935 (13)	0,00226 (4)	0,0594 (9)
$\gamma_{68,51}(U)$	257,2 (1)	0,10 (6)	[M1,E2]	0,7 (6)	0,19 (5)	0,049 (8)	0,9 (7)
$\gamma_{26,10}(U)$	267,12 (5)	0,32 (12)	[E2,M1]	0,6 (5)	0,17 (5)	0,044 (8)	0,8 (6)
$\gamma_{49,33}(U)$	272,28 (5)	2,18 (28)	M1+E2	0,766 (11)	0,1783 (25)	0,0442 (7)	1,004 (14)
$\gamma_{21,8}(U)$	275,04 (10)	0,17 (7)	[M1,E2]	0,6 (5)	0,16 (4)	0,040 (8)	0,8 (6)

	Energy keV	$P_{\gamma+ce}$ $\times 100$	Multipolarity	α_K	α_L	α_M	α_T
$\gamma_{22,7}(U)$	278,3 (1)	0,052 (14)	[E2]	0,0863 (13)	0,1112 (16)	0,0303 (5)	0,238 (4)
$\gamma_{33,22}(U)$	293,79 (5)	4,3 (6)	M1+E2	0,28 (9)	0,109 (9)	0,0283 (18)	0,42 (10)
$\gamma_{33,20}(U)$	295,91 (8)	0,23 (8)	[M1+E2]	0,5 (4)	0,12 (4)	0,031 (8)	0,6 (5)
$\gamma_{17,5}(U)$	298,7 (2)	0,015 (6)	[E1]	0,0315 (5)	0,00610 (9)	0,001470 (21)	0,0396 (6)
$\gamma_{64,46}(U)$	308,6 (2)	0,025 (7)	[E2]	0,0711 (10)	0,0744 (11)	0,0201 (3)	0,1726 (25)
$\gamma_{71,51}(U)$	310,2 (1)	0,109 (35)	[M1,E2]	0,4 (4)	0,11 (4)	0,027 (7)	0,5 (4)
$\gamma_{27,9}(U)$	310,52 (10)	0,000135 (15)					
$\gamma_{23,8}(U)$	313,5 (1)	0,156 (47)	[E2,M1]	0,4 (4)	0,10 (4)	0,026 (7)	0,5 (4)
$\gamma_{21,6}(U)$	316,7 (1)	0,121 (16)	[E2]	0,0677 (10)	0,0674 (10)	0,0182 (3)	0,1597 (23)
$\gamma_{34,22}(U)$	320,4 (1)	0,078 (24)	[E2,M1]	0,4 (3)	0,10 (4)	0,024 (7)	0,5 (4)
$\gamma_{33,18}(U)$	330,40 (5)	0,80 (9)	[E1]	0,0254 (4)	0,00484 (7)	0,001165 (17)	0,0318 (5)
$\gamma_{37,23}(U)$	330,40 (5)		M1+E2	0,431 (6)	0,0980 (14)	0,0242 (4)	0,562 (8)
$\gamma_{74,52}(U)$	331,4 (1)	0,073 (13)					
$\gamma_{21,5}(U)$	340,2 (1)	0,042 (9)	[E1]	0,0239 (4)	0,00453 (7)	0,001090 (16)	0,0298 (5)
$\gamma_{31,12}(U)$	343,8 (2)	0,035 (8)	[E1]	0,0233 (4)	0,00442 (7)	0,001064 (15)	0,0292 (5)
$\gamma_{33,16}(U)$	351,9 (1)	0,47 (6)	E2	0,0555 (8)	0,0455 (7)	0,01222 (18)	0,1175 (17)
$\gamma_{46,28}(U)$	357,9 (1)	0,050 (19)	[M1,E2]	0,27 (22)	0,07 (3)	0,017 (6)	0,4 (3)
$\gamma_{56,33}(U)$	360,6 (3)	0,018 (7)	[E1]	0,0211 (3)	0,00397 (6)	0,000955 (14)	0,0264 (4)
$\gamma_{31,10}(U)$	365,0 (3)						
$\gamma_{26,7}(U)$	365,0 (3)	0,018 (7)	[E1]	0,0206 (3)	0,00387 (6)	0,000930 (14)	0,0257 (4)
$\gamma_{37,21}(U)$	369,50 (5)	3,91 (47)	M1	0,450 (7)	0,0866 (13)	0,0209 (3)	0,565 (8)
$\gamma_{40,23}(U)$	372,0 (1)	1,87 (21)	M1(+E2)	0,410 (6)	0,0811 (12)	0,0197 (3)	0,517 (8)
$\gamma_{32,11}(U)$	379,1 (1)	0,043 (11)	[E1]	0,0190 (3)	0,00356 (5)	0,000854 (12)	0,0237 (4)
$\gamma_{31,9}(U)$	385,4 (1)	0,043 (11)	[E1]	0,0184 (3)	0,00343 (5)	0,000824 (12)	0,0229 (4)
$\gamma_{27,7}(U)$	387,94 (6)	0,00072 (6)					
$\gamma_{45,25}(U)$	394,1 (1)	0,096 (14)	[E1]	0,01755 (25)	0,00326 (5)	0,000784 (11)	0,0219 (3)
$\gamma_{33,15}(U)$	397,7 (3)	0,063 (16)	[M2]	0,986 (14)	0,270 (4)	0,0687 (10)	1,349 (20)
$\gamma_{40,22}(U)$	409,8 (1)	0,35 (5)	[E1]	0,01620 (23)	0,00300 (5)	0,00072 0(1)	0,0202 (3)
$\gamma_{49,30}(U)$	416,1 (1)	0,039 (12)	[E2]	0,0405 (6)	0,0251 (4)	0,00666 (10)	0,0746 (11)
$\gamma_{37,16}(U)$	426,95 (5)	0,47 (5)	[E1]	0,01491 (21)	0,00274 (4)	0,000658 (10)	0,0185 (3)
$\gamma_{27,6}(U)$	427,4 (4)	0,000031 (10)					
$\gamma_{68,42}(U)$	433,1 (1)	0,094 (14)					
$\gamma_{40,18}(U)$	446,6 (1)	0,153 (20)	[M1]	0,269 (4)	0,0516 (8)	0,01245 (18)	0,338 (5)
$\gamma_{46,24}(U)$	446,6 (1)						
$\gamma_{27,5}(U)$	450,93 (4)	0,0050 (24)	M1+E2	0,187 (3)	0,0400 (6)	0,00980 (14)	0,241 (4)
$\gamma_{42,19}(U)$	452,4 (3)	0,027 (9)					
$\gamma_{33,11}(U)$	458,68 (5)	1,30 (15)	M1+E2	0,11 (4)	0,028 (5)	0,0071 (11)	0,14 (5)
$\gamma_{43,18}(U)$	461,5 (1)						
$\gamma_{45,22}(U)$	461,5 (1)	0,045 (14)	[M1]	0,246 (4)	0,0472 (7)	0,01138 (16)	0,309 (5)
$\gamma_{39,16}(U)$	464,2 (1)	0,040 (14)	[M1]	0,243 (4)	0,0464 (7)	0,01120 (16)	0,304 (5)
$\gamma_{40,16}(U)$	468,0 (1)	0,223 (30)	[E1]	0,01241 (18)	0,00226 (4)	0,000541 (8)	0,01539 (22)
$\gamma_{37,15}(U)$	472,3 (1)	0,46 (5)	[M1]	0,231 (4)	0,0443 (7)	0,01069 (15)	0,290 (4)
$\gamma_{41,16}(U)$	474,2 (2)	0,037 (11)	[E1]	0,01209 (17)	0,00219 (3)	0,000526 (8)	0,01499 (21)
$\gamma_{49,26}(U)$	478,6 (1)						
$\gamma_{42,16}(U)$	478,6 (1)	0,127 (15)	[E1]	0,01187 (17)	0,00215 (3)	0,000516 (8)	0,01472 (21)
$\gamma_{71,43}(U)$	481,0 (1)	0,36 (6)	[M1,E2]	0,13 (10)	0,029 (14)	0,007 (3)	0,16 (12)
$\gamma_{49,25}(U)$	498,0 (1)						
$\gamma_{45,18}(U)$	498,0 (1)	0,078 (15)	[M1]	0,201 (3)	0,0384 (6)	0,00925 (13)	0,252 (4)
$\gamma_{66,35}(U)$	502,2 (1)	0,03 (10)	[E2,M1]	0,11 (9)	0,026 (12)	0,006 (3)	0,15 (10)
$\gamma_{37,13}(U)$	506,76 (5)	1,32 (14)	[E1]	0,01061 (15)	0,00191 (3)	0,000457 (7)	0,01314 (19)
$\gamma_{40,15}(U)$	513,4 (1)	~0,468	[M1]	0,185 (3)	0,0353 (5)	0,00852 (12)	0,232 (4)
$\gamma_{40,14}(U)$	513,5 (1)	~0,77	[E1]	0,01035 (15)	0,00186 (3)	0,000445 (7)	0,01280 (18)
$\gamma_{45,16}(U)$	519,64 (10)	0,41 (5)	[E1]	0,01011 (15)	0,00181 (3)	0,000434 (6)	0,01251 (18)
$\gamma_{49,24}(U)$	521,43 (10)	0,76 (9)	[E1]	0,01004 (14)	0,00180 (3)	0,000431 (6)	0,01242 (18)
$\gamma_{37,12}(U)$	527,99 (10)	0,49 (6)	(M1)	0,1716 (24)	0,0328 (5)	0,00790 (11)	0,215 (3)
$\gamma_{46,18}(U)$	529,2 (3)						
$\gamma_{43,15}(U)$	529,2 (3)	0,102 (46)	[E2,M1]	0,10 (8)	0,022 (11)	0,0054 (25)	0,13 (9)
$\gamma_{76,44}(U)$	534,2 (1)	0,084 (13)	[E1]	0,00958 (14)	0,001715 (24)	0,000410 (6)	0,01185 (17)
$\gamma_{71,37}(U)$	537,4 (1)	0,093 (16)	[M1,E2]	0,09 (7)	0,021 (11)	0,0052 (24)	0,12 (9)

	Energy keV	P _{γ+ce} × 100	Multipolarity	α _K	α _L	α _M	α _T
γ _{39,13} (U)	543,9 (1)	0,140 (25)	[E2]	0,0247 (4)	0,01049 (15)	0,00273 (4)	0,0389 (6)
γ _{47,19} (U)	553,87 (10)	0,045 (16)	[E1]	0,00894 (13)	0,001594 (23)	0,000381 (6)	0,01105 (16)
γ _{44,14} (U)	558,1 (2)	0,097 (24)	[E2]	0,0236 (4)	0,00970 (14)	0,00252 (4)	0,0367 (6)
γ _{51,23} (U)	558,1 (2)						
γ _{36,9} (U)	559,4 (2)	0,074 (22)	[E1]	0,00877 (13)	0,001562 (22)	0,000373 (6)	0,01084 (16)
γ _{76,43} (U)	562,9 (3)	0,040 (13)	[M1,E2]	0,08 (6)	0,018 (9)	0,0045 (21)	0,11 (8)
γ _{49,22} (U)	565,4 (1)						
γ _{45,15} (U)	565,4 (1)	1,23 (13)	(M1)	0,1429 (20)	0,0272 (4)	0,00656 (10)	0,179 (3)
γ _{40,12} (U)	569,1 (2)	4,2 (7)	M1	0,1404 (20)	0,0268 (4)	0,00645 (9)	0,1759 (25)
γ _{37,9} (U)	569,7 (1)	10,9 (14)	M1	0,1401 (20)	0,0267 (4)	0,00643 (9)	0,1754 (25)
γ _{41,12} (U)	575,7 (1)	0,03 (1)	[E2,M1]	0,08 (6)	0,017 (9)	0,0043 (20)	0,10 (7)
γ _{43,12} (U)	584,3 (1)	0,19 (31)	[E2]	0,0217 (3)	0,00845 (12)	0,00219 (3)	0,0331 (5)
γ _{64,32} (U)	586,5 (1)	0,075 (13)	[E2]	0,0216 (3)	0,00836 (12)	0,00216 (3)	0,0328 (5)
γ _{40,10} (U)	590,5 (10)	0,040 (12)	[E2,M1]	0,07 (6)	0,016 (8)	0,0040 (19)	0,10 (7)
γ _{50,22} (U)	595,6 (2)	0,097 (24)	[E2]	0,0210 (3)	0,00799 (12)	0,00207 (3)	0,0317 (5)
γ _{59,26} (U)	597,1 (1)	0,231 (35)	[M1]	0,1235 (18)	0,0235 (4)	0,00566 (8)	0,1547 (22)
γ _{51,21} (U)	597,1 (1)						
γ _{49,18} (U)	602,8 (1)	0,55 (6)	[E1]	0,00762 (11)	0,001345 (19)	0,000321 (5)	0,00939 (14)
γ _{43,10} (U)	604,8 (3)	0,057 (24)	[E2,M1]	0,07 (5)	0,015 (8)	0,0037 (18)	0,09 (6)
γ _{53,21} (U)	612,2 (1)	0,43 (6)	(M1)	0,1156 (17)	0,0220 (3)	0,00530 (8)	0,1447 (21)
γ _{41,9} (U)	617,2 (2)	0,054 (23)	[E2]	0,0197 (3)	0,00720 (11)	0,00186 (3)	0,0294 (5)
γ _{56,23} (U)	617,2 (2)						
γ _{44,11} (U)	619,2 (2)	0,039 (12)	[M1+E2]	0,07 (5)	0,014 (7)	0,0035 (17)	0,08 (6)
γ _{49,16} (U)	624,4 (1)	0,39 (6)	(M1+E2)	0,0799 (12)	0,01627 (23)	0,00396 (6)	0,1015 (15)
γ _{20,4} (U)	628,3 (1)	0,24 (5)	[E1]	0,00705 (10)	0,001239 (18)	0,000296 (5)	0,00868 (13)
γ _{48,15} (U)	629,6 (1)	0,40 (7)	(M1)	0,1072 (15)	0,0204 (3)	0,00491 (7)	0,1342 (19)
γ _{51,18} (U)	632,8 (2)	0,039 (12)	[E2,M1]	0,06 (5)	0,013 (7)	0,0033 (16)	0,08 (6)
γ _{44,10} (U)	634,5 (2)						
γ _{54,22} (U)	634,5 (2)	0,153 (27)	[M1]	0,1050 (15)	0,0200 (3)	0,00481 (7)	0,1315 (19)
γ _{37,7} (U)	646,7 (1)	0,115 (15)	[E1]	0,00668 (10)	0,001170 (17)	0,000279 (4)	0,00822 (12)
γ _{50,16} (U)	653,9 (1)	0,53 (9)	M1	0,0969 (14)	0,0184 (3)	0,00443 (7)	0,1213 (17)
γ _{64,29} (U)	653,9 (1)						
γ _{56,22} (U)	655,4 (2)	0,136 (24)	[E1]	0,00651 (10)	0,001140 (16)	0,000272 (4)	0,00802 (12)
γ _{46,11} (U)	657,6 (1)	0,40 (5)					
γ _{48,13} (U)	664,1 (1)	0,54 (9)	[E1]	0,00636 (9)	0,001111 (16)	0,000265 (4)	0,00782 (11)
γ _{11,3} (U)	666,7 (1)	1,19 (13)	[E1]	0,00631 (9)	0,001103 (16)	0,000263 (4)	0,00777 (11)
γ _{35,5} (U)	669,9 (1)	<0,0006					
γ _{49,15} (U)	669,9 (1)	1,01 (10)	[E1]	0,00626 (9)	0,001092 (16)	0,000260 (4)	0,00770 (11)
γ _{24,4} (U)	675,3 (1)	0,103 (14)	[E2]	0,01674 (24)	0,00558 (8)	0,001427 (20)	0,0242 (4)
γ _{59,22} (U)	684,1 (2)	0,161 (40)	[E1]	0,00602 (9)	0,001049 (15)	0,000250 (4)	0,00740 (11)
γ _{59,21} (U)	685,3 (2)		[E2]	0,01631 (23)	0,00535 (8)	0,001369 (20)	0,0235 (4)
γ _{40,8} (U)	685,3 (1)	0,15 (4)					
γ _{54,16} (U)	692,8 (1)	1,38 (14)	(M1)	0,0831 (12)	0,01575 (22)	0,00379 (6)	0,1040 (15)
γ _{51,15} (U)	699,25 (5)	3,6 (4)					
γ _{50,14} (U)	699,25 (5)		M1	0,0811 (12)	0,01537 (22)	0,00370 (6)	0,1015 (15)
γ _{7,2} (U)	706,2 (1)	2,31 (23)	[E1]	0,00568 (8)	0,000987 (14)	0,000235 (4)	0,00698 (10)
γ _{8,2} (U)	708,6 (2)	0,024 (9)	[E2]	0,01537 (22)	0,00489 (7)	0,001246 (18)	0,0219 (3)
γ _{52,14} (U)	714,0 (1)	0,147 (25)	[E1]	0,00557 (8)	0,000966 (14)	0,000230 (4)	0,00684 (10)
γ _{64,26} (U)	714,0 (1)						
γ _{62,23} (U)	716,8 (2)	0,033 (10)	[M1,E2]	0,05 (3)	0,010 (5)	0,0023 (12)	0,06 (4)
γ _{15,3} (U)	728,1 (2)	0,116 (15)	[E2]	0,01464 (21)	0,00454 (7)	0,001156 (17)	0,0207 (3)
γ _{49,11} (U)	731,2 (2)	0,67 (11)	[M1,E2]	0,04 (3)	0,009 (5)	0,0022 (11)	0,06 (4)
γ _{50,13} (U)	733,56 (5)	7,6 (9)	M1	0,0714 (10)	0,01351 (19)	0,00325 (5)	0,0893 (13)
γ _{54,14} (U)	738,3 (1)	1,26 (14)	(M1)	0,0702 (10)	0,01329 (19)	0,00320 (5)	0,0878 (13)
γ _{5,1} (U)	743,084 (5)	2,09 (21)	E1	0,00518 (8)	0,000895 (13)	0,000213 (3)	0,00636 (9)
γ _{49,10} (U)	746,2 (1)	0,32 (5)	[E1]	0,00514 (8)	0,000888 (13)	0,000211 (3)	0,00631 (9)
γ _{52,13} (U)	748,4 (3)	0,105 (23)	[E1]	0,00511 (8)	0,000883 (13)	0,000210 (3)	0,00628 (9)
γ _{62,22} (U)	755,3 (1)						
γ _{51,12} (U)	755,3 (1)	1,29 (15)	(E2,M1)	0,04 (3)	0,008 (5)	0,002 (1)	0,05 (4)

	Energy keV	$P_{\gamma+ce}$ $\times 100$	Multipolarity	α_K	α_L	α_M	α_T
$\gamma_{56,15}(U)$	759,2 (1)	0,262 (33)	[M1,E2]	0,04 (3)	0,008 (5)	0,002 (1)	0,05 (4)
$\gamma_{50,11}(U)$	761,3 (2)	0,074 (22)	[E2]	0,01353 (19)	0,00403 (6)	0,001023 (15)	0,0189 (3)
$\gamma_{28,4}(U)$	765,1 (2)	0,21 (5)	[M1,E2]	0,04 (3)	0,008 (4)	0,002 (1)	0,05 (3)
$\gamma_{6,1}(U)$	766,7 (2)	0,26 (5)	(E2)	0,01336 (19)	0,00396 (6)	0,001003 (14)	0,0187 (3)
$\gamma_{58,15}(U)$	769,4 (1)	0,196 (22)	[M1,E2]	0,038 (25)	0,008 (4)	0,0019 (10)	0,05 (3)
$\gamma_{54,13}(U)$	772,7 (2)	0,074 (22)	[E2]	0,01318 (19)	0,00388 (6)	0,000983 (14)	0,0184 (3)
$\gamma_{30,4}(U)$	780,7 (2)	0,91 (9)	[E1]	0,00474 (7)	0,000815 (12)	0,000194 (3)	0,00581 (9)
$\gamma_{9,2}(U)$	783,7 (1)	0,305 (41)	[E2]	0,01285 (18)	0,00374 (6)	0,000946 (14)	0,0179 (3)
$\gamma_{5,0}(U)$	786,595 (22)	1,22 (13)	(E1)	0,00467 (7)	0,000804 (12)	0,000191 (3)	0,00573 (8)
$\gamma_{54,12}(U)$	793,1 (3)	0,045 (11)	[E1]	0,00460 (7)	0,000791 (11)	0,000188 (3)	0,00565 (8)
$\gamma_{18,3}(U)$	795,2 (2)	0,69 (11)	[E2]	0,01253 (18)	0,00360 (5)	0,000910 (13)	0,01735 (25)
$\gamma_{51,9}(U)$	796,4 (1)	2,64 (31)	[E2]	0,01249 (18)	0,00359 (5)	0,000906 (13)	0,01730 (25)
$\gamma_{19,3}(U)$	800,0 (2)		E0+E2				
$\gamma_{55,12}(U)$	802,6 (2)	0,033 (10)	[M1]	0,0563 (8)	0,01062 (15)	0,00256 (4)	0,0703 (10)
$\gamma_{10,2}(U)$	804,5 (1)	0,85 (30)	E0+E2	0,1559 (8)	0,11056 (15)	0,10254 (4)	0,37
$\gamma_{7,1}(U)$	806,20 (5)	2,51 (30)	[E1]	0,00447 (7)	0,000768 (11)	0,000183 (3)	0,00549 (8)
$\gamma_{8,1}(U)$	808,8 (3)	0,19 (6)	E0+E2	3,30000 (7)	0,93 (100)		4,2
$\gamma_{6,0}(U)$	810,4 (7)	0,20 (7)	E0				
$\gamma_{53,9}(U)$	811,9 (1)	0,130 (16)	[M1,E2]	0,033 (22)	0,007 (4)	0,0017 (9)	0,04 (3)
$\gamma_{56,12}(U)$	814,6 (1)	0,315 (41)	[E2]	0,01201 (17)	0,00338 (5)	0,000854 (12)	0,01654 (24)
$\gamma_{11,2}(U)$	819,6 (1)	1,91 (20)	[E1]	0,00434 (6)	0,000744 (11)	0,0001770 (25)	0,00533 (8)
$\gamma_{12,2}(U)$	825,5 (2)	1,93 (20)	[E2]	0,01173 (17)	0,00327 (5)	0,000825 (12)	0,01611 (23)
$\gamma_{20,3}(U)$	829,7 (2)	0,36 (11)	[E1]	0,00425 (6)	0,000727 (11)	0,0001729 (25)	0,00521 (8)
$\gamma_{22,3}(U)$	831,9 (1)	4,2 (5)	[E1]	0,00423 (6)	0,000724 (11)	0,0001721 (24)	0,00518 (8)
$\gamma_{75,28}(U)$	839,9 (1)	0,031 (8)					
$\gamma_{49,7}(U)$	844,5 (1)	0,44 (5)	[E2]	0,01127 (16)	0,00309 (5)	0,000777 (11)	0,01540 (22)
$\gamma_{59,11}(U)$	849,4 (2)	0,027 (8)	[E1]	0,00408 (6)	0,000696 (10)	0,0001655 (24)	0,00500 (7)
$\gamma_{8,0}(U)$	852,2 (1)	0,074 (22)	[E2]	0,01109 (16)	0,00302 (5)	0,000759 (11)	0,01513 (22)
$\gamma_{57,9}(U)$	858,1 (2)	0,037 (8)	[E2]	0,01095 (16)	0,00297 (5)	0,000746 (11)	0,01493 (21)
$\gamma_{59,10}(U)$	863,6 (2)	0,076 (23)	[E2,M1]	0,029 (18)	0,006 (3)	0,0014 (7)	0,036 (22)
$\gamma_{77,29}(U)$	870,1 (1)	0,20 (3)					
$\gamma_{50,7}(U)$	874,4 (3)	0,037 (8)	[E2,M1]	0,028 (18)	0,006 (3)	0,0014 (7)	0,035 (21)
$\gamma_{24,3}(U)$	876,4 (1)	2,59 (23)	(E2)	0,01055 (15)	0,00282 (4)	0,000706 (10)	0,01432 (20)
$\gamma_{14,2}(U)$	880,92 (4)	4,3 (6)	[E1]	0,00382 (6)	0,000651 (10)	0,0001547 (22)	0,00468 (7)
$\gamma_{15,2}(U)$	880,92 (4)	6,3 (8)	[E2]	0,01046 (15)	0,00278 (4)	0,000697 (10)	0,01418 (20)
$\gamma_{9,1}(U)$	883,66 (4)	9,8 (11)	E2	0,01040 (15)	0,00276 (4)	0,000692 (10)	0,01409 (20)
$\gamma_{66,16}(U)$	890,5 (4)	0,027 (8)					
$\gamma_{25,3}(U)$	899,06 (5)	3,31 (40)	[E1]	0,00369 (6)	0,000627 (9)	0,0001489 (21)	0,00451 (7)
$\gamma_{10,1}(U)$	904,6 (1)	0,345 (41)	[E2]	0,00998 (14)	0,00260 (4)	0,000652 (10)	0,01346 (19)
$\gamma_{65,15}(U)$	916,9 (2)	0,024 (7)					
$\gamma_{26,3}(U)$	918,8 (1)	0,101 (14)	[E2]	0,00971 (14)	0,00251 (4)	0,000627 (9)	0,01306 (19)
$\gamma_{12,1}(U)$	925,4 (1)	8,0 (9)	(E2)	0,00959 (14)	0,00246 (4)	0,000616 (9)	0,01288 (18)
$\gamma_{16,2}(U)$	926,4 (2)	1,8 (13)	[E1]	0,00350 (5)	0,000594 (9)	0,0001409 (20)	0,00428 (6)
$\gamma_{9,0}(U)$	927,1 (1)	7,4 (12)	(E2)	0,00956 (14)	0,00245 (4)	0,000613 (9)	0,01284 (18)
$\gamma_{66,15}(U)$	936,2 (2)	0,067 (10)					
$\gamma_{17,2}(U)$	942,4 (3)	0,047 (9)	[E2]	0,00929 (13)	0,00236 (4)	0,000589 (9)	0,01244 (18)
$\gamma_{13,1}(U)$	946,39 (3)	13,6 (15)	(E1)	0,00337 (5)	0,000571 (8)	0,0001355 (19)	0,00412 (6)
$\gamma_{18,2}(U)$	948,1 (2)	1,65 (21)	[E2]	0,00919 (13)	0,00232 (4)	0,000580 (9)	0,01230 (18)
$\gamma_{19,2}(U)$	953,1 (1)	0,083 (13)					
$\gamma_{59,8}(U)$	960,4 (1)	0,074 (13)	[E2]	0,00899 (13)	0,00225 (4)	0,000562 (8)	0,01199 (17)
$\gamma_{28,3}(U)$	966,2 (1)	0,49 (6)	[M1,E2]	0,022 (13)	0,0043 (22)	0,0011 (5)	0,027 (16)
$\gamma_{73,18}(U)$	975,5 (1)	0,027 (8)					
$\gamma_{29,3}(U)$	978,6 (3)	0,090 (23)					
$\gamma_{14,1}(U)$	980,7 (1)	~2,71	[E1]	0,00317 (5)	0,000535 (8)	0,0001270 (18)	0,00387 (6)
$\gamma_{15,1}(U)$	980,7 (1)	~1,79	[E2]	0,00866 (13)	0,00214 (3)	0,000534 (8)	0,01152 (17)
$\gamma_{30,3}(U)$	982,0 (3)	0,73 (22)	[E1]	0,00316 (5)	0,000534 (8)	0,0001267 (18)	0,00387 (6)
$\gamma_{22,2}(U)$	984,6 (1)	1,64 (21)	[E1]	0,00315 (5)	0,000531 (8)	0,0001261 (18)	0,00385 (6)
$\gamma_{63,9}(U)$	989,9 (1)	0,104 (14)					
$\gamma_{60,7}(U)$	995,0 (3)	0,062 (22)					

	Energy keV	P _{γ+ce} × 100	Multipolarity	α _K	α _L	α _M	α _T
γ _{73,16} (U)	998,1 (3)	0,046 (12)					
γ _{71,15} (U)	1010,3 (3)	0,067 (12)					
γ _{75,18} (U)	1010,3 (3)						
γ _{76,19} (U)	1019,9 (4)	0,027 (8)					
γ _{23,2} (U)	1022,2 (2)	0,156 (41)	[M1]	0,0297 (5)	0,00557 (8)	0,001340 (19)	0,0370 (6)
γ _{24,2} (U)	1029,1 (1)	0,58 (6)	[E2]	0,00796 (12)	0,00191 (3)	0,000475 (7)	0,01051 (15)
γ _{75,16} (U)	1033,2 (2)	0,018 (5)					
γ _{69,11} (U)	1038,3 (2)	0,018 (7)					
γ _{17,1} (U)	1041,6 (2)	0,033 (11)	[E2,M1]	0,018 (11)	0,0036 (18)	0,0009 (4)	0,023 (13)
γ _{32,3} (U)	1045,0 (2)	0,031 (3)					
γ _{70,12} (U)	1052,0 (2)	0,062 (12)					
γ _{70,11} (U)	1058,4 (3)	0,0177 (16)					
γ _{71,12} (U)	1065,7 (1)	0,027 (8)					
γ _{69,9} (U)	1074,2 (2)	0,104 (14)					
γ _{21,1} (U)	1083,8 (1)	0,53 (6)	(M1)	0,0254 (4)	0,00477 (7)	0,001147 (16)	0,0317 (5)
γ _{17,0} (U)	1085,9 (3)	0,027 (8)	[E2]	0,00725 (11)	0,001690 (24)	0,000418 (6)	0,00950 (14)
γ _{71,9} (U)	1107,5 (2)	0,083 (13)					
γ _{66,7} (U)	1111,2 (1)	0,062 (12)					
γ _{23,1} (U)	1122,4 (1)	0,257 (41)	M1	0,0232 (4)	0,00434 (6)	0,001045 (15)	0,0289 (4)
γ _{33,3} (U)	1125,9 (1)	0,36 (8)	[E1]	0,00250 (4)	0,000418 (6)	0,0000991 (14)	0,00305 (5)
γ _{21,0} (U)	1127,5 (1)	0,303 (40)	[E2]	0,00679 (10)	0,001552 (22)	0,000383 (6)	0,00885 (13)
γ _{69,7} (U)	1152,1 (3)						
γ _{34,3} (U)	1152,1 (3)	0,032 (10)	[E1]	0,00240 (4)	0,000402 (6)	0,0000951 (14)	0,00294 (5)
γ _{76,11} (U)	1154,2 (3)	0,046 (9)					
γ _{26,1} (U)	1172,0 (1)	0,091 (13)	[E2]	0,00634 (9)	0,001423 (20)	0,000350 (5)	0,00824 (12)
γ _{66,5} (U)	1173,8 (1)	0,046 (9)					
γ _{71,8} (U)	1182,8 (2)	~0,0094					
γ _{27,1} (U)	1194,53 (3)	0,021 (6)	E1	0,00226 (4)	0,000377 (6)	0,0000892 (13)	0,00277 (4)
γ _{77,9} (U)	1218,1 (1)	0,22 (3)					
γ _{27,0} (U)	1238,1 (3)	<0,0094	E1	0,00213 (3)	0,000354 (5)	0,0000838 (12)	0,00262 (4)
γ _{40,3} (U)	1242,0 (1)	0,232 (30)	(E2)	0,00573 (8)	0,001251 (18)	0,000307 (5)	0,00740 (11)
γ _{41,3} (U)	1248,6 (2)	0,022 (6)	[E2]	0,00567 (8)	0,001237 (18)	0,000304 (5)	0,00733 (11)
γ _{42,3} (U)	1253,4 (2)	0,018 (8)					
γ _{43,3} (U)	1257,3 (1)	0,060 (8)	[M1,E2]	0,011 (6)	0,0022 (10)	0,00054 (24)	0,014 (8)
γ _{33,2} (U)	1278,6 (2)	0,047 (9)	[M2]	0,0370 (6)	0,00771 (11)	0,00188 (3)	0,0473 (7)
γ _{45,3} (U)	1293,7 (1)	0,48 (6)	M1	0,01592 (23)	0,00297 (5)	0,000715 (10)	0,0199 (3)
γ _{36,2} (U)	1343,9 (2)	0,012 (5)	[E1]	0,00185 (3)	0,000307 (5)	0,0000726 (11)	0,00232 (4)
γ _{37,2} (U)	1353,9 (1)	1,18 (12)	M1	0,01412 (20)	0,00263 (4)	0,000633 (9)	0,01766 (25)
γ _{47,3} (U)	1355,6 (2)	0,14 (4)	[E1]	0,00183 (3)	0,000302 (5)	0,0000715 (10)	0,00229 (4)
γ _{38,2} (U)	1360,0 (1)	0,156 (25)					
γ _{39,2} (U)	1390,6 (2)	0,073 (22)	[E1]	0,001749 (25)	0,000289 (4)	0,0000684 (10)	0,00222 (4)
γ _{40,2} (U)	1394,9 (1)	2,11 (21)	M1	0,01304 (19)	0,00243 (4)	0,000585 (9)	0,01634 (23)
γ _{49,3} (U)	1398,5 (2)	0,083 (22)	[E1]	0,001733 (25)	0,000286 (4)	0,0000678 (10)	0,00220 (3)
γ _{41,2} (U)	1401,4 (1)	0,182 (30)	[E2,M1]	0,009 (5)	0,0017 (8)	0,00041 (18)	0,011 (6)
γ _{43,2} (U)	1410,2 (2)	0,045 (10)					
γ _{35,1} (U)	1415,5 (2)	<0,0028					
γ _{51,3} (U)	1428,0 (1)	0,17 (3)					
γ _{36,1} (U)	1443,9 (2)	0,031 (7)	[E1]	0,001643 (23)	0,000271 (4)	0,0000641 (9)	0,00212 (3)
γ _{45,2} (U)	1446,5 (1)	0,32 (5)	[M1]	0,01185 (17)	0,00221 (3)	0,000531 (8)	0,01488 (21)
γ _{37,1} (U)	1453,8 (1)	0,82 (9)	[M1]	0,01169 (17)	0,00218 (3)	0,000524 (8)	0,01468 (21)
γ _{38,1} (U)	1460,0 (1)	0,094 (23)					
γ _{46,2} (U)	1476,9 (2)	0,008 (4)					
γ _{56,3} (U)	1486,5 (2)	0,030 (7)	[M1]	0,01102 (16)	0,00205 (3)	0,000494 (7)	0,01387 (20)
γ _{57,3} (U)	1489,2 (2)	0,014 (6)					
γ _{40,1} (U)	1494,8 (1)	0,105 (14)	[E2]	0,00414 (6)	0,000842 (12)	0,000205 (3)	0,00531 (8)
γ _{58,3} (U)	1497,2 (2)	0,036 (9)					
γ _{41,1} (U)	1501,2 (2)	0,0111 (40)	[E2]	0,00411 (6)	0,000835 (12)	0,000203 (3)	0,00528 (8)
γ _{48,2} (U)	1511,3 (2)	<0,0094					
γ _{59,3} (U)	1516,8 (2)	0,073 (13)					

	Energy keV	$P_{\gamma+ce}$ $\times 100$	Multipolarity	α_K	α_L	α_M	α_T
$\gamma_{49,2}(\text{U})$	1551,3 (1)	0,073 (13)	[E1]	0,001460 (21)	0,000240 (4)	0,0000568 (8)	0,00196 (3)
$\gamma_{61,3}(\text{U})$	1568,3 (2)	0,0114 (23)					
$\gamma_{51,2}(\text{U})$	1581,2 (1)	0,073 (22)					
$\gamma_{62,3}(\text{U})$	1587,2 (1)	0,146 (17)					
$\gamma_{52,2}(\text{U})$	1595,3 (1)	0,312 (40)	M1,E2	0,006 (3)	0,0012 (5)	0,00029 (12)	0,008 (4)
$\gamma_{54,2}(\text{U})$	1619,6 (2)	0,009 (4)					
$\gamma_{55,2}(\text{U})$	1628,7 (1)	0,076 (11)					
$\gamma_{56,2}(\text{U})$	1639,5 (1)	0,210 (21)	(M1)	0,00850 (12)	0,001581 (23)	0,000380 (6)	0,01083 (16)
$\gamma_{57,2}(\text{U})$	1641,9 (3)	0,010 (4)					
$\gamma_{65,3}(\text{U})$	1646,3 (2)	0,010 (4)					
$\gamma_{58,2}(\text{U})$	1651,6 (2)	<0,006					
$\gamma_{59,2}(\text{U})$	1669,8 (1)	0,78 (9)	(M1)	0,00809 (12)	0,001505 (21)	0,000362 (5)	0,01035 (15)
$\gamma_{67,3}(\text{U})$	1674,3 (1)	0,034 (11)					
$\gamma_{50,1}(\text{U})$	1681,0 (1)	0,077 (18)					
$\gamma_{68,3}(\text{U})$	1687,2 (1)	0,31 (4)					
$\gamma_{52,1}(\text{U})$	1695,3 (2)	0,7 (1)					
$\gamma_{53,1}(\text{U})$	1696,5 (3)	0,27 (7)					
$\gamma_{60,2}(\text{U})$	1702,0 (2)	0,104 (14)					
$\gamma_{61,2}(\text{U})$	1721,3 (2)	0,018 (6)					
$\gamma_{70,3}(\text{U})$	1724,8 (2)	0,016 (4)					
$\gamma_{55,1}(\text{U})$	1729,4 (2)	0,020 (5)					
$\gamma_{62,2}(\text{U})$	1739,3 (2)	0,075 (11)					
$\gamma_{72,3}(\text{U})$	1742,7 (2)	0,049 (8)					
$\gamma_{58,1}(\text{U})$	1751,6 (1)	0,064 (10)					
$\gamma_{59,1}(\text{U})$	1769,6 (3)	0,020 (5)					
$\gamma_{73,3}(\text{U})$	1772,5 (2)	0,068 (17)					
$\gamma_{63,2}(\text{U})$	1774,7 (2)	0,068 (17)					
$\gamma_{64,2}(\text{U})$	1785,4 (2)	0,025 (7)					
$\gamma_{65,2}(\text{U})$	1798,8 (1)	0,24 (3)					
$\gamma_{75,3}(\text{U})$	1807,5 (3)	0,0052 (22)					
$\gamma_{66,2}(\text{U})$	1817,0 (3)	0,009 (4)					
$\gamma_{76,3}(\text{U})$	1821,6 (3)	0,0042 (11)					
$\gamma_{67,2}(\text{U})$	1826,9 (3)	0,009 (4)					
$\gamma_{68,2}(\text{U})$	1839,8 (2)	0,0042 (11)					
$\gamma_{62,1}(\text{U})$	1839,8 (2)						
$\gamma_{63,1}(\text{U})$	1874,7 (2)	0,035 (9)					
$\gamma_{64,1}(\text{U})$	1886,0 (3)	0,016 (5)					
$\gamma_{71,2}(\text{U})$	1892,0 (2)	0,146 (17)					
$\gamma_{72,2}(\text{U})$	1895,3 (3)	$\sim 0,0062$					
$\gamma_{65,1}(\text{U})$	1898,6 (2)	0,104 (23)					
$\gamma_{66,1}(\text{U})$	1917,5 (3)	0,020 (5)					
$\gamma_{74,2}(\text{U})$	1927,4 (2)	0,30 (5)					
$\gamma_{68,1}(\text{U})$	1939,7 (3)	0,042 (11)					
$\gamma_{75,2}(\text{U})$	1960,0 (4)	0,010 (3)					
$\gamma_{76,2}(\text{U})$	1973,2 (4)	$\sim 0,0027$					
$\gamma_{70,1}(\text{U})$	1979,4 (4)	0,017 (5)					
$\gamma_{71,1}(\text{U})$	1991,6 (1)	0,007 (4)					
$\gamma_{76,1}(\text{U})$	2074,5 (4)	0,0042 (22)					

3 Atomic Data

3.1

ω_K	:	0,970	(4)
$\bar{\omega}_L$:	0,500	(19)
n_{KL}	:	0,794	(5)

3.1.1 X Radiations

	Energy keV	Relative probability
X_K		
$K\alpha_2$	94,666	62,47
$K\alpha_1$	98,44	100
$K\beta_3$	110,421	}
$K\beta_1$	111,298	}
$K\beta_5''$	111,964	}
		36,08
$K\beta_2$	114,407	}
$K\beta_4$	115,012	}
$KO_{2,3}$	115,377	}
X_L		
$L\ell$	11,6185	
$L\alpha$	13,4382 – 13,6146	
$L\eta$	15,399	
$L\beta$	15,7268 – 18,2061	
$L\gamma$	19,5072 – 20,7141	

3.1.2 Auger Electrons

	Energy keV	Relative probability
Auger K		
KLL	71,776 – 80,954	100
KLX	88,153 – 98,429	59,6
KXY	104,51 – 115,59	8,88
Auger L	5,9 – 21,6	

4 Electron Emissions

		Energy keV	Electrons per 100 disint.
e _{AL}	(U)	5,9 - 21,6	77 (10)
e _{AK}	(U)		1,08 (6)
	KLL	71,776 - 80,954	}
	KLX	88,153 - 98,429	}
	KXY	104,51 - 115,59	}
ec _{25,16} K	(U)	9,86 (1)	0,171 (26)
ec _{14,13} L	(U)	12,5 - 17,1	6,1 (7)
ec _{43,33} K	(U)	15,70 (1)	3,71 (33)
ec _{51,45} K	(U)	19,01 (2)	0,86 (17)
ec _{1,0} L	(U)	21,73 - 26,32	62 (16)
ec _{16,14} L	(U)	23,69 - 28,28	5,1 (32)
ec _{13,7} K	(U)	24,55 (2)	1,5 (11)
ec _{33,30} K	(U)	28,18 (2)	1,04 (16)
ec _{14,13} M	(U)	28,8 - 30,7	1,69 (18)
ec _{14,13} N	(U)	32,9 - 33,9	0,46 (5)
ec _{15,12} L	(U)	33,20 - 37,79	0,8 (8)
ec _{22,16} L	(U)	36,4 - 41,0	0,34 (11)
ec _{3,2} K	(U)	37,11 (2)	1,30 (15)
ec _{56,51} L	(U)	37,43 - 42,02	2,2 (18)
ec _{1,0} M	(U)	37,94 - 39,94	17,2 (43)
ec _{16,14} M	(U)	39,9 - 41,9	1,4 (9)
ec _{13,9} L	(U)	40,9 - 45,5	0,51 (16)
ec _{1,0} N	(U)	42,05 - 43,11	4,7 (12)
ec _{16,14} N	(U)	44,01 - 45,07	0,38 (25)
ec _{25,22} L	(U)	45,49 - 50,08	1,5 (5)
ec _{25,20} L	(U)	47,70 - 52,29	0,58 (49)
ec _{22,11} K	(U)	49,34 (5)	0,11 (12)
ec _{15,12} M	(U)	49,41 - 51,41	0,24 (20)
ec _{56,51} M	(U)	53,64 - 55,64	0,6 (5)
ec _{51,43} K	(U)	55,25 (2)	1,96 (27)
ec _{13,9} M	(U)	57,2 - 59,2	0,127 (40)
ec _{56,51} N	(U)	57,75 - 58,81	0,16 (14)
ec _{16,13} L	(U)	58,08 - 62,67	1,7 (6)
ec _{14,7} K	(U)	58,95 (3)	0,32 (31)
ec _{25,22} M	(U)	61,7 - 63,7	0,41 (15)
ec _{25,20} M	(U)	63,91 - 65,91	0,16 (15)
ec _{51,41} K	(U)	64,20 (8)	0,15 (5)
ec _{25,22} N	(U)	65,81 - 66,87	0,112 (40)
ec _{51,40} K	(U)	70,55 (2)	5,4 (6)
ec _{16,13} M	(U)	74,29 - 76,29	0,48 (17)
ec _{2,1} L	(U)	78,10 - 82,69	31 (6)
ec _{56,45} K	(U)	78,13 (3)	0,7 (7)
ec _{16,13} N	(U)	78,40 - 79,46	0,131 (46)

		Energy keV	Electrons per 100 disint.
ec _{23,12} K	(U)	81,20 (5)	0,1 (1)
ec _{22,14} L	(U)	82,01 - 86,60	1,96 (33)
ec _{21,9} K	(U)	84,35 (5)	0,1 (1)
ec _{16,11} L	(U)	84,92 - 89,51	0,104 (32)
ec _{4,3} K	(U)	85,37 (3)	0,138 (20)
ec _{13,5} K	(U)	87,52 (3)	1,0 (5)
ec _{2,1} M	(U)	94,31 - 96,31	8,7 (16)
ec _{22,14} M	(U)	98,22 - 100,22	0,54 (9)
ec _{2,1} N	(U)	98,42 - 99,48	2,36 (44)
ec _{22,14} N	(U)	102,33 - 103,39	0,148 (25)
ec _{25,16} L	(U)	103,70 - 108,29	2,69 (41)
ec _{16,7} K	(U)	104,40 (8)	0,276 (47)
ec _{43,33} L	(U)	109,5 - 114,1	0,84 (8)
ec _{33,25} K	(U)	110,90 (3)	4,4 (16)
ec _{51,37} K	(U)	111,65 (3)	10 (1)
ec _{51,45} L	(U)	112,85 - 117,44	0,169 (34)
ec _{25,11} K	(U)	116,61 (3)	0,16 (15)
ec _{13,7} L	(U)	118,39 - 122,98	0,90 (18)
ec _{25,16} M	(U)	119,91 - 121,91	0,75 (11)
ec _{33,30} L	(U)	122,02 - 126,61	0,49 (8)
ec _{25,16} N	(U)	124,02 - 125,08	0,203 (31)
ec _{43,33} M	(U)	125,8 - 127,8	0,205 (18)
ec _{30,22} L	(U)	128,12 - 132,71	0,111 (34)
ec _{56,40} K	(U)	129,77 (2)	1,06 (15)
ec _{3,2} L	(U)	130,95 - 135,54	8,4 (10)
ec _{33,24} K	(U)	133,62 (1)	0,118 (19)
ec _{13,7} M	(U)	134,6 - 136,6	0,24 (6)
ec _{33,30} M	(U)	138,23 - 140,23	0,129 (20)
ec _{3,2} M	(U)	147,16 - 149,16	2,33 (27)
ec _{51,43} L	(U)	149,09 - 153,68	0,38 (5)
ec _{3,2} N	(U)	151,27 - 152,33	0,63 (7)
ec _{26,10} K	(U)	151,52 (5)	0,11 (9)
ec _{14,7} L	(U)	152,79 - 157,38	0,126 (23)
ec _{49,33} K	(U)	156,68 (5)	0,83 (11)
ec _{51,40} L	(U)	164,39 - 168,98	1,04 (11)
ec _{56,45} L	(U)	171,97 - 176,56	0,255 (42)
ec _{33,22} K	(U)	178,19 (5)	0,84 (29)
ec _{4,3} L	(U)	179,21 - 183,80	0,38 (6)
ec _{51,40} M	(U)	180,6 - 182,6	0,253 (27)
ec _{13,5} L	(U)	181,36 - 185,95	0,52 (6)
ec _{4,3} M	(U)	195,42 - 197,42	0,105 (15)
ec _{13,5} M	(U)	197,57 - 199,57	0,138 (17)
ec _{33,25} L	(U)	204,7 - 209,3	1,46 (19)
ec _{51,37} L	(U)	205,49 - 210,08	1,94 (20)
ec _{33,25} M	(U)	221 - 223	0,372 (47)
ec _{51,37} M	(U)	221,7 - 223,7	0,469 (49)
ec _{56,40} L	(U)	223,61 - 228,20	0,205 (30)

		Energy keV	Electrons per 100 disint.
ec _{33,25} N	(U)	225,1 - 226,1	0,100 (13)
ec _{51,37} N	(U)	225,81 - 226,87	0,126 (13)
ec _{49,33} L	(U)	250,52 - 255,11	0,194 (25)
ec _{37,21} K	(U)	253,90 (5)	1,12 (14)
ec _{40,23} K	(U)	256,4 (1)	0,50 (6)
ec _{33,22} L	(U)	272,03 - 276,62	0,33 (5)
ec _{33,11} K	(U)	343,08 (5)	0,125 (47)
ec _{37,21} L	(U)	347,7 - 352,3	0,216 (26)
ec _{40,23} L	(U)	350,242 - 354,832	0,100 (11)
ec _{45,15} K	(U)	449,8 (1)	0,149 (16)
ec _{40,12} K	(U)	453,5 (2)	0,51 (8)
ec _{37,9} K	(U)	454,1 (1)	1,30 (17)
ec _{37,9} L	(U)	547,9 - 552,5	0,248 (32)
ec _{54,16} K	(U)	577,2 (1)	0,104 (11)
ec _{50,13} K	(U)	617,96 (5)	0,50 (6)
ec _{9,1} K	(U)	768,06 (4)	0,101 (12)
$\beta_{0,77}^-$	max:	51 (4)	0,42 (5)
$\beta_{0,77}^-$	avg:	13,0 (11)	
$\beta_{0,76}^-$	max:	79 (4)	0,21 (3)
$\beta_{0,76}^-$	avg:	20,4 (11)	
$\beta_{0,75}^-$	max:	94 (4)	0,064 (11)
$\beta_{0,75}^-$	avg:	24,2 (11)	
$\beta_{0,74}^-$	max:	126 (4)	0,40 (7)
$\beta_{0,74}^-$	avg:	33,1 (11)	
$\beta_{0,73}^-$	max:	129 (4)	0,140 (24)
$\beta_{0,73}^-$	avg:	33,8 (11)	
$\beta_{0,72}^-$	max:	158 (4)	0,055 (8)
$\beta_{0,72}^-$	avg:	41,9 (12)	
$\beta_{0,71}^-$	max:	161 (4)	0,90 (15)
$\beta_{0,71}^-$	avg:	42,9 (12)	
$\beta_{0,70}^-$	max:	175 (4)	0,112 (16)
$\beta_{0,70}^-$	avg:	46,7 (12)	
$\beta_{0,69}^-$	max:	195 (4)	0,122 (16)
$\beta_{0,69}^-$	avg:	52,2 (12)	
$\beta_{0,68}^-$	max:	214 (4)	0,59 (8)
$\beta_{0,68}^-$	avg:	57,8 (12)	
$\beta_{0,67}^-$	max:	226 (4)	0,044 (12)
$\beta_{0,67}^-$	avg:	61,3 (12)	
$\beta_{0,66}^-$	max:	236 (4)	0,44 (19)
$\beta_{0,66}^-$	avg:	64,3 (12)	
$\beta_{0,65}^-$	max:	254 (4)	0,35 (5)
$\beta_{0,65}^-$	avg:	69,7 (12)	
$\beta_{0,64}^-$	max:	267 (4)	0,22 (4)

		Energy keV		Electrons per 100 disint.
$\beta_{0,64}^-$	avg:	73,5	(12)	
$\beta_{0,63}^-$	max:	279	(4)	0,21 (3)
$\beta_{0,63}^-$	avg:	76,9	(12)	
$\beta_{0,62}^-$	max:	313	(4)	0,25 (3)
$\beta_{0,62}^-$	avg:	87,3	(13)	
$\beta_{0,61}^-$	max:	332	(4)	0,029 (7)
$\beta_{0,61}^-$	avg:	93,0	(13)	
$\beta_{0,60}^-$	max:	351	(4)	0,17 (3)
$\beta_{0,60}^-$	avg:	98,9	(13)	
$\beta_{0,59}^-$	max:	383	(4)	1,43 (15)
$\beta_{0,59}^-$	avg:	108,9	(13)	
$\beta_{0,58}^-$	max:	402	(4)	0,41 (8)
$\beta_{0,58}^-$	avg:	114,8	(13)	
$\beta_{0,57}^-$	max:	411	(4)	0,061 (11)
$\beta_{0,57}^-$	avg:	117,6	(13)	
$\beta_{0,56}^-$	max:	412	(4)	8 (3)
$\beta_{0,56}^-$	avg:	118,1	(13)	
$\beta_{0,55}^-$	max:	424	(4)	0,129 (17)
$\beta_{0,55}^-$	avg:	121,8	(13)	
$\beta_{0,54}^-$	max:	433	(4)	2,8 (4)
$\beta_{0,54}^-$	avg:	124,7	(13)	
$\beta_{0,53}^-$	max:	457	(4)	0,78 (19)
$\beta_{0,53}^-$	avg:	132,3	(14)	
$\beta_{0,52}^-$	max:	458	(4)	1,16 (14)
$\beta_{0,52}^-$	avg:	132,5	(14)	
$\beta_{0,50}^-$	max:	472	(4)	8,4 (9)
$\beta_{0,50}^-$	avg:	137,2	(13)	
$\beta_{0,51}^-$	max:	472	(4)	36 (5)
$\beta_{0,51}^-$	avg:	137,1	(13)	
$\beta_{0,49}^-$	max:	502	(4)	6,9 (8)
$\beta_{0,49}^-$	avg:	146,8	(14)	
$\beta_{0,48}^-$	max:	542	(4)	0,95 (13)
$\beta_{0,48}^-$	avg:	160,1	(14)	
$\beta_{0,47}^-$	max:	545	(4)	0,18 (4)
$\beta_{0,47}^-$	avg:	164,6	(13)	
$\beta_{0,46}^-$	max:	576	(4)	0,035 (20)
$\beta_{0,46}^-$	avg:	171,4	(14)	
$\beta_{0,45}^-$	max:	606	(4)	< 0,7
$\beta_{0,45}^-$	avg:	181,7	(14)	
$\beta_{0,44}^-$	max:	613	(4)	0,05 (3)
$\beta_{0,44}^-$	avg:	184,1	(14)	
$\beta_{0,43}^-$	max:	642	(4)	19,6 (18)

		Energy keV	Electrons per 100 disint.
$\beta_{0,43}^-$	avg:	194,0 (14)	
$\beta_{0,42}^-$	max:	647 (4)	0,078 (20)
$\beta_{0,42}^-$	avg:	195,6 (14)	
$\beta_{0,41}^-$	max:	651 (4)	0,10 (9)
$\beta_{0,41}^-$	avg:	197,1 (14)	
$\beta_{0,40}^-$	max:	658 (4)	0,9
$\beta_{0,40}^-$	avg:	199,3 (14)	
$\beta_{0,39}^-$	max:	662 (4)	0,21 (4)
$\beta_{0,39}^-$	avg:	200,6 (14)	
$\beta_{0,38}^-$	max:	693 (4)	0,25 (4)
$\beta_{0,38}^-$	avg:	211,3 (14)	
$\beta_{0,37}^-$	max:	699 (4)	< 2,7
$\beta_{0,37}^-$	avg:	213,5 (14)	
$\beta_{0,36}^-$	max:	709 (4)	0,12 (3)
$\beta_{0,36}^-$	avg:	216,9 (14)	
$\beta_{0,34}^-$	max:	747 (4)	0,11 (3)
$\beta_{0,34}^-$	avg:	230,3 (14)	
$\beta_{0,31}^-$	max:	883 (4)	0,109 (18)
$\beta_{0,31}^-$	avg:	278,7 (15)	
$\beta_{0,26}^-$	max:	980 (4)	0,30 (12)
$\beta_{0,26}^-$	avg:	314,2 (15)	
$\beta_{0,25}^-$	max:	1000 (4)	< 1,5
$\beta_{0,25}^-$	avg:	312,6 (14)	
$\beta_{0,22}^-$	max:	1067 (4)	1,9 (10)
$\beta_{0,22}^-$	avg:	346,5 (15)	
$\beta_{0,18}^-$	max:	1104 (4)	0,69 (20)
$\beta_{0,18}^-$	avg:	360,2 (15)	
$\beta_{0,16}^-$	max:	1126 (4)	< 8
$\beta_{0,16}^-$	avg:	368,3 (15)	
$\beta_{0,15}^-$	max:	1171 (4)	1,5 (13)
$\beta_{0,15}^-$	avg:	385,4 (16)	
$\beta_{0,14}^-$	max:	1171,2 (40)	5
$\beta_{0,14}^-$	avg:	385,4 (16)	
$\beta_{0,13}^-$	max:	1206 (4)	< 3,1
$\beta_{0,13}^-$	avg:	398,5 (16)	
$\beta_{0,12}^-$	max:	1227 (4)	< 2,5
$\beta_{0,12}^-$	avg:	406,4 (16)	
$\beta_{0,11}^-$	max:	1232 (4)	< 0,4
$\beta_{0,11}^-$	avg:	408,7 (16)	
$\beta_{0,10}^-$	max:	1247 (4)	< 0,8
$\beta_{0,10}^-$	avg:	414,4 (16)	
$\beta_{0,7}^-$	max:	1346 (4)	< 0,8

		Energy keV	Electrons per 100 disint.
$\beta_{0,7}^-$	avg:	452,1 (16)	< 5
$\beta_{0,2}^-$	max:	2052 (4)	
$\beta_{0,2}^-$	avg:	732,2 (17)	

5 Photon Emissions

5.1 X-Ray Emissions

		Energy keV	Photons per 100 disint.
XL	(U)	11,6185 — 20,7141	77 (10)
XK α_2	(U)	94,666	10,5 (6) } K α
XK α_1	(U)	98,44	16,8 (9) }
XK β_3	(U)	110,421	} K' β_1
XK β_1	(U)	111,298	} 6,1 (4)
XK β_5''	(U)	111,964	}
XK β_2	(U)	114,407	}
XK β_4	(U)	115,012	} 2,0 (1) K' β_2
XK $\alpha_{2,3}$	(U)	115,377	}

5.2 Gamma Emissions

	Energy keV	Photons per 100 disint.
$\gamma_{14,13}(\text{U})$	34,30 (4)	0,0037 (4)
$\gamma_{1,0}(\text{U})$	43,49 (2)	0,12 (3)
$\gamma_{16,14}(\text{U})$	45,45 (5)	0,027 (9)
$\gamma_{14,12}(\text{U})$	54,96 (10)	\sim 0,0094
$\gamma_{15,12}(\text{U})$	54,96 (10)	\sim 0,0094
$\gamma_{45,39}(\text{U})$	55,45 (5)	0,027 (9)
$\gamma_{22,16}(\text{U})$	58,20 (6)	0,0027 (9)
$\gamma_{56,51}(\text{U})$	59,19 (5)	0,032 (11)
$\gamma_{13,9}(\text{U})$	62,70 (1)	1,6 (5)
$\gamma_{25,22}(\text{U})$	67,25 (10)	0,036 (11)
$\gamma_{25,20}(\text{U})$	69,46 (5)	0,018 (8)
$\gamma_{16,13}(\text{U})$	79,84 (2)	0,062 (22)
$\gamma_{14,9}(\text{U})$	97,17 (10)	0,24 (9)

	Energy keV	Photons per 100 disint.
$\gamma_{2,1}(\text{U})$	99,86 (2)	3,2 (6)
$\gamma_{16,12}(\text{U})$	100,89 (2)	0,125 (24)
$\gamma_{22,14}(\text{U})$	103,77 (2)	0,24 (4)
$\gamma_{16,11}(\text{U})$	106,68 (5)	0,036 (11)
$\gamma_{25,16}(\text{U})$	125,46 (1)	0,79 (12)
$\gamma_{43,33}(\text{U})$	131,30 (1)	18,2 (16)
$\gamma_{51,45}(\text{U})$	134,61 (2)	0,114 (23)
$\gamma_{21,13}(\text{U})$	137,23 (5)	0,027 (9)
$\gamma_{13,7}(\text{U})$	140,15 (2)	0,51 (7)
$\gamma_{49,43}(\text{U})$	140,91 (3)	0,31 (5)
$\gamma_{33,30}(\text{U})$	143,78 (2)	0,32 (5)
$\gamma_{30,22}(\text{U})$	149,88 (3)	0,073 (22)
$\gamma_{3,2}(\text{U})$	152,71 (2)	6,0 (7)
$\gamma_{33,28}(\text{U})$	159,48 (2)	0,66 (10)
$\gamma_{22,11}(\text{U})$	164,94 (5)	0,052 (22)
$\gamma_{64,54}(\text{U})$	165,61 (5)	0,073 (22)
$\gamma_{51,43}(\text{U})$	170,85 (2)	0,51 (7)
$\gamma_{14,7}(\text{U})$	174,55 (3)	0,17 (3)
$\gamma_{51,41}(\text{U})$	179,80 (8)	0,045 (16)
$\gamma_{51,40}(\text{U})$	186,15 (2)	1,78 (19)
$\gamma_{56,45}(\text{U})$	193,73 (3)	0,50 (8)
$\gamma_{23,12}(\text{U})$	196,80 (5)	0,073 (22)
$\gamma_{21,9}(\text{U})$	199,95 (5)	0,073 (22)
$\gamma_{4,3}(\text{U})$	200,97 (3)	0,90 (13)
$\gamma_{13,5}(\text{U})$	203,12 (3)	1,24 (15)
$\gamma_{16,7}(\text{U})$	220,00 (8)	0,146 (25)
$\gamma_{66,53}(\text{U})$	221,15 (10)	0,052 (22)
$\gamma_{37,29}(\text{U})$	221,83 (10)	0,073 (22)
$\gamma_{33,25}(\text{U})$	226,50 (3)	4,9 (6)
$\gamma_{51,37}(\text{U})$	227,25 (3)	5,8 (6)
$\gamma_{25,11}(\text{U})$	232,21 (3)	0,18 (3)
$\gamma_{66,51}(\text{U})$	235,11 (3)	0,114 (23)
$\gamma_{17,7}(\text{U})$	235,9 (30)	0,005 (3)
$\gamma_{58,43}(\text{U})$	240,2 (1)	0,052 (22)
$\gamma_{56,40}(\text{U})$	245,37 (2)	0,76 (11)
$\gamma_{27,13}(\text{U})$	247,79 (7)	0,00037 (4)
$\gamma_{33,24}(\text{U})$	249,22 (1)	2,5 (4)
$\gamma_{68,51}(\text{U})$	257,2 (1)	0,052 (22)
$\gamma_{26,10}(\text{U})$	267,12 (5)	0,18 (3)
$\gamma_{49,33}(\text{U})$	272,28 (5)	1,09 (14)
$\gamma_{21,8}(\text{U})$	275,04 (10)	0,094 (23)
$\gamma_{22,7}(\text{U})$	278,3 (1)	0,042 (11)
$\gamma_{33,22}(\text{U})$	293,79 (5)	3,0 (4)
$\gamma_{33,20}(\text{U})$	295,91 (8)	0,146 (25)
$\gamma_{17,5}(\text{U})$	298,7 (2)	0,014 (6)
$\gamma_{64,46}(\text{U})$	308,6 (2)	0,021 (6)
$\gamma_{71,51}(\text{U})$	310,2 (1)	0,073 (13)

	Energy keV	Photons per 100 disint.
$\gamma_{27,9}(\text{U})$	310,52 (10)	0,000135 (15)
$\gamma_{23,8}(\text{U})$	313,5 (1)	0,104 (14)
$\gamma_{21,6}(\text{U})$	316,7 (1)	0,104 (14)
$\gamma_{34,22}(\text{U})$	320,4 (1)	0,052 (8)
$\gamma_{33,18}(\text{U})$	330,40 (5)	0,78 (9)
$\gamma_{74,52}(\text{U})$	331,4 (1)	0,073 (13)
$\gamma_{21,5}(\text{U})$	340,2 (1)	0,041 (9)
$\gamma_{31,12}(\text{U})$	343,8 (2)	0,034 (8)
$\gamma_{33,16}(\text{U})$	351,9 (1)	0,42 (5)
$\gamma_{46,28}(\text{U})$	357,9 (1)	0,036 (11)
$\gamma_{56,33}(\text{U})$	360,6 (3)	0,018 (7)
$\gamma_{26,7}(\text{U})$	365,0 (3)	0,018 (7)
$\gamma_{37,21}(\text{U})$	369,50 (5)	2,5 (3)
$\gamma_{40,23}(\text{U})$	372,0 (1)	1,23 (14)
$\gamma_{32,11}(\text{U})$	379,1 (1)	0,042 (11)
$\gamma_{31,9}(\text{U})$	385,4 (1)	0,042 (11)
$\gamma_{27,7}(\text{U})$	387,94 (6)	0,00072 (6)
$\gamma_{45,25}(\text{U})$	394,1 (1)	0,094 (14)
$\gamma_{33,15}(\text{U})$	397,7 (3)	0,027 (7)
$\gamma_{(-1,2)}(\text{U})$	401,8 (2)	0,036 (11)
$\gamma_{40,22}(\text{U})$	409,8 (1)	0,34 (5)
$\gamma_{49,30}(\text{U})$	416,1 (1)	0,036 (11)
$\gamma_{(-1,3)}(\text{U})$	425,3 (2)	0,036 (11)
$\gamma_{37,16}(\text{U})$	426,95 (5)	0,46 (5)
$\gamma_{27,6}(\text{U})$	427,4 (4)	0,000031 (10)
$\gamma_{68,42}(\text{U})$	433,1 (1)	0,094 (14)
$\gamma_{40,18}(\text{U})$	446,6 (1)	0,114 (15)
$\gamma_{27,5}(\text{U})$	450,93 (4)	0,0040 (19)
$\gamma_{42,19}(\text{U})$	452,4 (3)	0,027 (9)
$\gamma_{33,11}(\text{U})$	458,68 (5)	1,14 (12)
$\gamma_{45,22}(\text{U})$	461,5 (1)	0,034 (11)
$\gamma_{39,16}(\text{U})$	464,2 (1)	0,031 (11)
$\gamma_{40,16}(\text{U})$	468,0 (1)	0,22 (3)
$\gamma_{37,15}(\text{U})$	472,3 (1)	0,36 (4)
$\gamma_{41,16}(\text{U})$	474,2 (2)	0,036 (11)
$\gamma_{42,16}(\text{U})$	478,6 (1)	0,125 (15)
$\gamma_{71,43}(\text{U})$	481,0 (1)	0,31 (4)
$\gamma_{45,18}(\text{U})$	498,0 (1)	0,062 (12)
$\gamma_{66,35}(\text{U})$	502,0 (1)	0,027 (90)
$\gamma_{37,13}(\text{U})$	506,75 (5)	1,30 (14)
$\gamma_{40,15}(\text{U})$	513,4 (1)	$\sim 0,38$
$\gamma_{40,14}(\text{U})$	513,5 (1)	$\sim 0,76$
$\gamma_{45,16}(\text{U})$	519,6 (1)	0,40 (5)
$\gamma_{49,24}(\text{U})$	521,4 (1)	0,75 (9)
$\gamma_{37,12}(\text{U})$	527,9 (1)	0,40 (5)
$\gamma_{43,15}(\text{U})$	529,1 (3)	0,09 (4)
$\gamma_{76,44}(\text{U})$	534,1 (1)	0,083 (13)

	Energy keV	Photons per 100 disint.
$\gamma_{71,37}(\text{U})$	537,2 (1)	0,083 (13)
$\gamma_{39,13}(\text{U})$	543,8 (1)	0,135 (24)
$\gamma_{47,19}(\text{U})$	553,7 (1)	0,045 (16)
$\gamma_{44,14}(\text{U})$	558,0 (2)	0,094 (23)
$\gamma_{36,9}(\text{U})$	559,2 (2)	0,073 (22)
$\gamma_{76,43}(\text{U})$	562,8 (3)	0,036 (11)
$\gamma_{45,15}(\text{U})$	565,2 (1)	1,04 (11)
$\gamma_{40,12}(\text{U})$	568,9 (2)	3,6 (6)
$\gamma_{37,9}(\text{U})$	569,5 (1)	9,3 (12)
$\gamma_{41,12}(\text{U})$	575,5 (1)	0,027 (9)
$\gamma_{43,12}(\text{U})$	584,1 (1)	0,18 (30)
$\gamma_{64,32}(\text{U})$	586,3 (1)	0,073 (13)
$\gamma_{40,10}(\text{U})$	590,3 (10)	0,036 (11)
$\gamma_{50,22}(\text{U})$	595,4 (2)	0,094 (23)
$\gamma_{59,26}(\text{U})$	596,9 (1)	0,20 (3)
$\gamma_{49,18}(\text{U})$	602,6 (1)	0,54 (6)
$\gamma_{43,10}(\text{U})$	604,6 (3)	0,052 (22)
$\gamma_{53,21}(\text{U})$	612,0 (1)	0,38 (5)
$\gamma_{41,9}(\text{U})$	617,0 (2)	0,052 (22)
$\gamma_{44,11}(\text{U})$	619,0 (2)	0,036 (11)
$\gamma_{49,16}(\text{U})$	624,2 (1)	0,35 (5)
$\gamma_{20,4}(\text{U})$	628,1 (1)	0,24 (5)
$\gamma_{48,15}(\text{U})$	629,4 (1)	0,35 (6)
$\gamma_{51,18}(\text{U})$	632,6 (2)	0,036 (11)
$\gamma_{54,22}(\text{U})$	634,3 (2)	0,135 (24)
$\gamma_{(-1,4)}(\text{U})$	643,2 (2)	0,027 (9)
$\gamma_{37,7}(\text{U})$	646,5 (1)	0,114 (15)
$\gamma_{50,16}(\text{U})$	653,7 (1)	0,47 (8)
$\gamma_{56,22}(\text{U})$	655,2 (2)	0,135 (24)
$\gamma_{46,11}(\text{U})$	657,4 (1)	0,40 (5)
$\gamma_{(-1,5)}(\text{U})$	659,8 (1)	0,27 (4)
$\gamma_{48,13}(\text{U})$	663,9 (1)	0,54 (9)
$\gamma_{11,3}(\text{U})$	666,5 (1)	1,18 (13)
$\gamma_{49,15}(\text{U})$	669,7 (1)	1,0 (1)
$\gamma_{35,5}(\text{U})$	669,7 (1)	<0,0006
$\gamma_{24,4}(\text{U})$	675,1 (1)	0,101 (14)
$\gamma_{59,22}(\text{U})$	683,9 (2)	0,16 (4)
$\gamma_{40,8}(\text{U})$	685,1 (2)	0,15 (4)
$\gamma_{54,16}(\text{U})$	692,6 (1)	1,25 (13)
$\gamma_{51,15}(\text{U})$	699,03 (5)	3,6 (4)
$\gamma_{7,2}(\text{U})$	705,9 (1)	2,29 (23)
$\gamma_{8,2}(\text{U})$	708,3 (2)	0,023 (9)
$\gamma_{(-1,6)}(\text{U})$	711,5 (1)	0,156 (25)
$\gamma_{52,14}(\text{U})$	713,7 (1)	0,146 (25)
$\gamma_{62,23}(\text{U})$	716,5 (2)	0,031 (9)
$\gamma_{15,3}(\text{U})$	727,8 (2)	0,114 (15)
$\gamma_{49,11}(\text{U})$	730,9 (2)	0,63 (10)

	Energy keV	Photons per 100 disint.
$\gamma_{50,13}(\text{U})$	733,39 (5)	7,0 (8)
$\gamma_{54,14}(\text{U})$	738,0 (1)	1,16 (13)
$\gamma_{5,1}(\text{U})$	742,813 (5)	2,08 (21)
$\gamma_{49,10}(\text{U})$	745,9 (1)	0,32 (5)
$\gamma_{52,13}(\text{U})$	748,1 (3)	0,104 (23)
$\gamma_{51,12}(\text{U})$	755,0 (1)	1,23 (13)
$\gamma_{56,15}(\text{U})$	758,9 (1)	0,25 (3)
$\gamma_{50,11}(\text{U})$	761,0 (2)	0,073 (22)
$\gamma_{28,4}(\text{U})$	764,8 (2)	0,20 (5)
$\gamma_{6,1}(\text{U})$	766,4 (2)	0,26 (5)
$\gamma_{58,15}(\text{U})$	769,1 (1)	0,187 (20)
$\gamma_{54,13}(\text{U})$	772,4 (2)	0,073 (22)
$\gamma_{(-1,7)}(\text{U})$	778,6 (2)	0,046 (10)
$\gamma_{30,4}(\text{U})$	780,4 (2)	0,90 (9)
$\gamma_{9,2}(\text{U})$	783,4 (1)	0,30 (4)
$\gamma_{5,0}(\text{U})$	786,272 (22)	1,21 (13)
$\gamma_{54,12}(\text{U})$	792,8 (3)	0,045 (11)
$\gamma_{18,3}(\text{U})$	794,9 (2)	0,68 (11)
$\gamma_{51,9}(\text{U})$	796,1 (1)	2,6 (3)
$\gamma_{55,12}(\text{U})$	802,3 (2)	0,031 (9)
$\gamma_{10,2}(\text{U})$	804,1 (1)	0,62 (22)
$\gamma_{7,1}(\text{U})$	805,80 (5)	2,5 (3)
$\gamma_{8,1}(\text{U})$	808,4 (3)	0,036 (11)
$\gamma_{53,9}(\text{U})$	811,5 (1)	0,125 (15)
$\gamma_{56,12}(\text{U})$	814,2 (1)	0,31 (4)
$\gamma_{11,2}(\text{U})$	819,2 (1)	1,9 (2)
$\gamma_{(-1,8)}(\text{U})$	824,2 (2)	1,25 (15)
$\gamma_{12,2}(\text{U})$	825,1 (2)	1,9 (2)
$\gamma_{20,3}(\text{U})$	829,3 (2)	0,36 (11)
$\gamma_{22,3}(\text{U})$	831,5 (1)	4,2 (5)
$\gamma_{75,28}(\text{U})$	839,5 (1)	0,031 (8)
$\gamma_{49,7}(\text{U})$	844,1 (1)	0,43 (5)
$\gamma_{(-1,9)}(\text{U})$	846,1 (2)	0,052 (12)
$\gamma_{59,11}(\text{U})$	848,9 (2)	0,027 (8)
$\gamma_{8,0}(\text{U})$	851,8 (1)	0,073 (22)
$\gamma_{57,9}(\text{U})$	857,7 (2)	0,036 (8)
$\gamma_{59,10}(\text{U})$	863,2 (2)	0,073 (22)
$\gamma_{77,29}(\text{U})$	869,7 (1)	0,20 (3)
$\gamma_{50,7}(\text{U})$	874,0 (3)	0,036 (8)
$\gamma_{24,3}(\text{U})$	876,0 (1)	2,55 (23)
$\gamma_{14,2}(\text{U})$	880,52 (4)	4,3 (6)
$\gamma_{15,2}(\text{U})$	880,52 (4)	6,2 (8)
$\gamma_{9,1}(\text{U})$	883,24 (4)	9,7 (11)
$\gamma_{66,16}(\text{U})$	890,1 (4)	0,027 (8)
$\gamma_{25,3}(\text{U})$	898,67 (5)	3,3 (4)
$\gamma_{10,1}(\text{U})$	904,2 (1)	0,34 (4)
$\gamma_{65,15}(\text{U})$	916,5 (2)	0,024 (7)

	Energy keV	Photons per 100 disint.
$\gamma_{26,3}(\text{U})$	918,4 (1)	0,100 (14)
$\gamma_{(-1,10)}(\text{U})$	920,5 (2)	0,029 (8)
$\gamma_{12,1}(\text{U})$	925,0 (1)	7,9 (9)
$\gamma_{16,2}(\text{U})$	926,0 (2)	1,8 (13)
$\gamma_{9,0}(\text{U})$	926,7 (1)	7,3 (12)
$\gamma_{66,15}(\text{U})$	935,8 (2)	0,067 (10)
$\gamma_{17,2}(\text{U})$	942,0 (3)	0,046 (9)
$\gamma_{13,1}(\text{U})$	946,00 (3)	13,5 (15)
$\gamma_{18,2}(\text{U})$	947,7 (2)	1,63 (21)
$\gamma_{19,2}(\text{U})$	952,7 (1)	0,083 (13)
$\gamma_{59,8}(\text{U})$	960,0 (1)	0,073 (13)
$\gamma_{28,3}(\text{U})$	965,8 (1)	0,48 (6)
$\gamma_{73,18}(\text{U})$	975,1 (1)	0,027 (8)
$\gamma_{29,3}(\text{U})$	978,2 (3)	0,090 (23)
$\gamma_{14,1}(\text{U})$	980,3 (1)	$\sim 2,7$
$\gamma_{15,1}(\text{U})$	980,3 (1)	$\sim 1,77$
$\gamma_{30,3}(\text{U})$	981,6 (3)	0,73 (22)
$\gamma_{22,2}(\text{U})$	984,2 (1)	1,63 (21)
$\gamma_{63,9}(\text{U})$	989,5 (1)	0,104 (14)
$\gamma_{(-1,11)}(\text{U})$	992,0 (2)	0,083 (22)
$\gamma_{60,7}(\text{U})$	994,6 (3)	0,062 (22)
$\gamma_{73,16}(\text{U})$	997,7 (3)	0,046 (12)
$\gamma_{71,15}(\text{U})$	1009,9 (3)	0,067 (12)
$\gamma_{76,19}(\text{U})$	1019,5 (4)	0,027 (8)
$\gamma_{23,2}(\text{U})$	1021,8 (2)	0,15 (4)
$\gamma_{(-1,12)}(\text{U})$	1023,6 (2)	0,062 (22)
$\gamma_{(-1,13)}(\text{U})$	1025,3 (2)	0,052 (22)
$\gamma_{24,2}(\text{U})$	1028,7 (1)	0,57 (6)
$\gamma_{75,16}(\text{U})$	1032,8 (2)	0,018 (5)
$\gamma_{(-1,14)}(\text{U})$	1035,9 (2)	0,026 (10)
$\gamma_{69,11}(\text{U})$	1037,9 (2)	0,018 (7)
$\gamma_{17,1}(\text{U})$	1041,1 (2)	0,032 (11)
$\gamma_{32,3}(\text{U})$	1044,4 (2)	0,031 (3)
$\gamma_{70,12}(\text{U})$	1051,4 (2)	0,062 (12)
$\gamma_{70,11}(\text{U})$	1057,8 (3)	0,0177 (16)
$\gamma_{71,12}(\text{U})$	1065,1 (1)	0,027 (8)
$\gamma_{69,9}(\text{U})$	1073,6 (2)	0,104 (14)
$\gamma_{21,1}(\text{U})$	1083,2 (1)	0,51 (6)
$\gamma_{17,0}(\text{U})$	1085,3 (3)	0,027 (8)
$\gamma_{71,9}(\text{U})$	1106,9 (2)	0,083 (13)
$\gamma_{66,7}(\text{U})$	1110,6 (1)	0,062 (12)
$\gamma_{23,1}(\text{U})$	1121,7 (1)	0,25 (4)
$\gamma_{33,3}(\text{U})$	1125,2 (1)	0,36 (8)
$\gamma_{21,0}(\text{U})$	1126,8 (1)	0,30 (4)
$\gamma_{34,3}(\text{U})$	1151,4 (3)	0,032 (10)
$\gamma_{76,11}(\text{U})$	1153,5 (3)	0,046 (9)
$\gamma_{26,1}(\text{U})$	1171,3 (1)	0,090 (13)

	Energy keV	Photons per 100 disint.
$\gamma_{66,5}(\text{U})$	1173,1 (1)	0,046 (9)
$\gamma_{71,8}(\text{U})$	1182,1 (2)	$\sim 0,0094$
$\gamma_{27,1}(\text{U})$	1193,77 (2)	0,021 (6)
$\gamma_{77,9}(\text{U})$	1217,3 (1)	0,22 (3)
$\gamma_{(-1,15)}(\text{U})$	1220,4 (2)	0,062 (12)
$\gamma_{27,0}(\text{U})$	1237,3 (3)	$<0,0094$
$\gamma_{40,3}(\text{U})$	1241,2 (1)	0,23 (3)
$\gamma_{41,3}(\text{U})$	1247,8 (2)	0,022 (6)
$\gamma_{42,3}(\text{U})$	1252,6 (2)	0,018 (8)
$\gamma_{43,3}(\text{U})$	1256,5 (1)	0,059 (8)
$\gamma_{33,2}(\text{U})$	1277,7 (2)	0,045 (9)
$\gamma_{45,3}(\text{U})$	1292,8 (1)	0,47 (6)
$\gamma_{(-1,16)}(\text{U})$	1296,4 (2)	0,029 (7)
$\gamma_{(-1,17)}(\text{U})$	1301,2 (2)	0,018 (5)
$\gamma_{(-1,18)}(\text{U})$	1327,0 (2)	0,018 (5)
$\gamma_{36,2}(\text{U})$	1342,9 (2)	0,012 (5)
$\gamma_{37,2}(\text{U})$	1352,9 (1)	1,16 (12)
$\gamma_{47,3}(\text{U})$	1354,6 (2)	0,14 (4)
$\gamma_{38,2}(\text{U})$	1359,0 (1)	0,156 (25)
$\gamma_{39,2}(\text{U})$	1389,6 (2)	0,073 (22)
$\gamma_{40,2}(\text{U})$	1393,9 (1)	2,08 (21)
$\gamma_{49,3}(\text{U})$	1397,5 (2)	0,083 (22)
$\gamma_{41,2}(\text{U})$	1400,3 (1)	0,18 (3)
$\gamma_{43,2}(\text{U})$	1409,1 (2)	0,045 (10)
$\gamma_{35,1}(\text{U})$	1414,4 (2)	$<0,0028$
$\gamma_{51,3}(\text{U})$	1426,9 (1)	0,17 (3)
$\gamma_{36,1}(\text{U})$	1442,8 (2)	0,031 (7)
$\gamma_{45,2}(\text{U})$	1445,4 (1)	0,32 (5)
$\gamma_{37,1}(\text{U})$	1452,7 (1)	0,81 (9)
$\gamma_{38,1}(\text{U})$	1458,9 (1)	0,094 (23)
$\gamma_{46,2}(\text{U})$	1475,8 (2)	0,008 (4)
$\gamma_{56,3}(\text{U})$	1485,4 (2)	0,030 (7)
$\gamma_{57,3}(\text{U})$	1488,0 (2)	0,014 (6)
$\gamma_{40,1}(\text{U})$	1493,6 (1)	0,104 (14)
$\gamma_{58,3}(\text{U})$	1496,0 (2)	0,036 (9)
$\gamma_{41,1}(\text{U})$	1500,0 (2)	0,011 (4)
$\gamma_{(-1,19)}(\text{U})$	1507,3 (2)	0,020 (5)
$\gamma_{48,2}(\text{U})$	1510,1 (2)	$<0,0094$
$\gamma_{59,3}(\text{U})$	1515,6 (2)	0,073 (13)
$\gamma_{(-1,20)}(\text{U})$	1520,7 (2)	0,0094 (9)
$\gamma_{(-1,21)}(\text{U})$	1538,8 (2)	0,014 (4)
$\gamma_{49,2}(\text{U})$	1550,1 (1)	0,073 (13)
$\gamma_{61,3}(\text{U})$	1567,0 (2)	0,0114 (23)
$\gamma_{51,2}(\text{U})$	1579,9 (1)	0,073 (22)
$\gamma_{62,3}(\text{U})$	1585,9 (1)	0,146 (17)
$\gamma_{52,2}(\text{U})$	1594,0 (1)	0,31 (4)
$\gamma_{54,2}(\text{U})$	1618,3 (2)	0,009 (4)

	Energy keV	Photons per 100 disint.
$\gamma_{55,2}(\text{U})$	1627,3 (1)	0,076 (11)
$\gamma_{56,2}(\text{U})$	1638,1 (1)	0,208 (21)
$\gamma_{57,2}(\text{U})$	1640,5 (3)	0,010 (4)
$\gamma_{65,3}(\text{U})$	1644,9 (2)	0,010 (4)
$\gamma_{58,2}(\text{U})$	1650,2 (2)	<0,006
$\gamma_{(-1,22)}(\text{U})$	1655,7 (1)	0,026 (4)
$\gamma_{(-1,23)}(\text{U})$	1664,8 (3)	0,018 (7)
$\gamma_{59,2}(\text{U})$	1668,4 (1)	0,77 (9)
$\gamma_{67,3}(\text{U})$	1672,8 (1)	0,034 (11)
$\gamma_{50,1}(\text{U})$	1679,5 (1)	0,077 (18)
$\gamma_{68,3}(\text{U})$	1685,7 (1)	0,31 (4)
$\gamma_{52,1}(\text{U})$	1693,8 (2)	0,7 (1)
$\gamma_{53,1}(\text{U})$	1695,0 (3)	0,27 (7)
$\gamma_{60,2}(\text{U})$	1700,5 (2)	0,104 (14)
$\gamma_{61,2}(\text{U})$	1719,7 (2)	0,018 (6)
$\gamma_{70,3}(\text{U})$	1723,2 (2)	0,016 (4)
$\gamma_{55,1}(\text{U})$	1727,8 (2)	0,020 (5)
$\gamma_{62,2}(\text{U})$	1737,7 (2)	0,075 (11)
$\gamma_{72,3}(\text{U})$	1741,1 (2)	0,049 (8)
$\gamma_{(-1,24)}(\text{U})$	1743,2 (2)	0,033 (8)
$\gamma_{58,1}(\text{U})$	1750,0 (1)	0,064 (10)
$\gamma_{(-1,25)}(\text{U})$	1757,5 (1)	0,024 (6)
$\gamma_{59,1}(\text{U})$	1768,0 (3)	0,020 (5)
$\gamma_{73,3}(\text{U})$	1770,8 (2)	0,068 (17)
$\gamma_{63,2}(\text{U})$	1773,0 (2)	0,068 (17)
$\gamma_{64,2}(\text{U})$	1783,7 (2)	0,025 (7)
$\gamma_{65,2}(\text{U})$	1797,1 (1)	0,24 (3)
$\gamma_{75,3}(\text{U})$	1805,8 (3)	0,0052 (22)
$\gamma_{66,2}(\text{U})$	1815,3 (3)	0,009 (4)
$\gamma_{76,3}(\text{U})$	1819,8 (3)	0,0042 (11)
$\gamma_{67,2}(\text{U})$	1825,1 (3)	0,009 (4)
$\gamma_{(-1,26)}(\text{U})$	1830,8 (3)	0,0042 (11)
$\gamma_{68,2}(\text{U})$	1838,0 (2)	0,0042 (11)
$\gamma_{(-1,27)}(\text{U})$	1849,8 (2)	0,028 (7)
$\gamma_{63,1}(\text{U})$	1872,8 (2)	0,035 (9)
$\gamma_{64,1}(\text{U})$	1884,1 (3)	0,016 (5)
$\gamma_{71,2}(\text{U})$	1890,1 (2)	0,146 (17)
$\gamma_{72,2}(\text{U})$	1893,4 (3)	\sim 0,0062
$\gamma_{65,1}(\text{U})$	1896,7 (2)	0,104 (23)
$\gamma_{66,1}(\text{U})$	1915,5 (3)	0,020 (5)
$\gamma_{74,2}(\text{U})$	1925,4 (2)	0,30 (5)
$\gamma_{(-1,28)}(\text{U})$	1927,9 (4)	0,054 (12)
$\gamma_{(-1,29)}(\text{U})$	1935,2 (4)	\sim 0,0094
$\gamma_{68,1}(\text{U})$	1937,7 (3)	0,042 (11)
$\gamma_{75,2}(\text{U})$	1958,0 (4)	0,010 (3)
$\gamma_{76,2}(\text{U})$	1971,2 (4)	\sim 0,0027
$\gamma_{70,1}(\text{U})$	1977,4 (4)	0,017 (5)

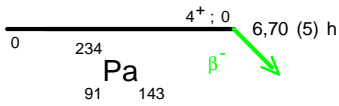
	Energy keV	Photons per 100 disint.
$\gamma_{71,1}(\text{U})$	1989,6 (4)	0,007 (4)
$\gamma_{76,1}(\text{U})$	2072,2 (4)	0,0042 (22)

6 Main Production Modes

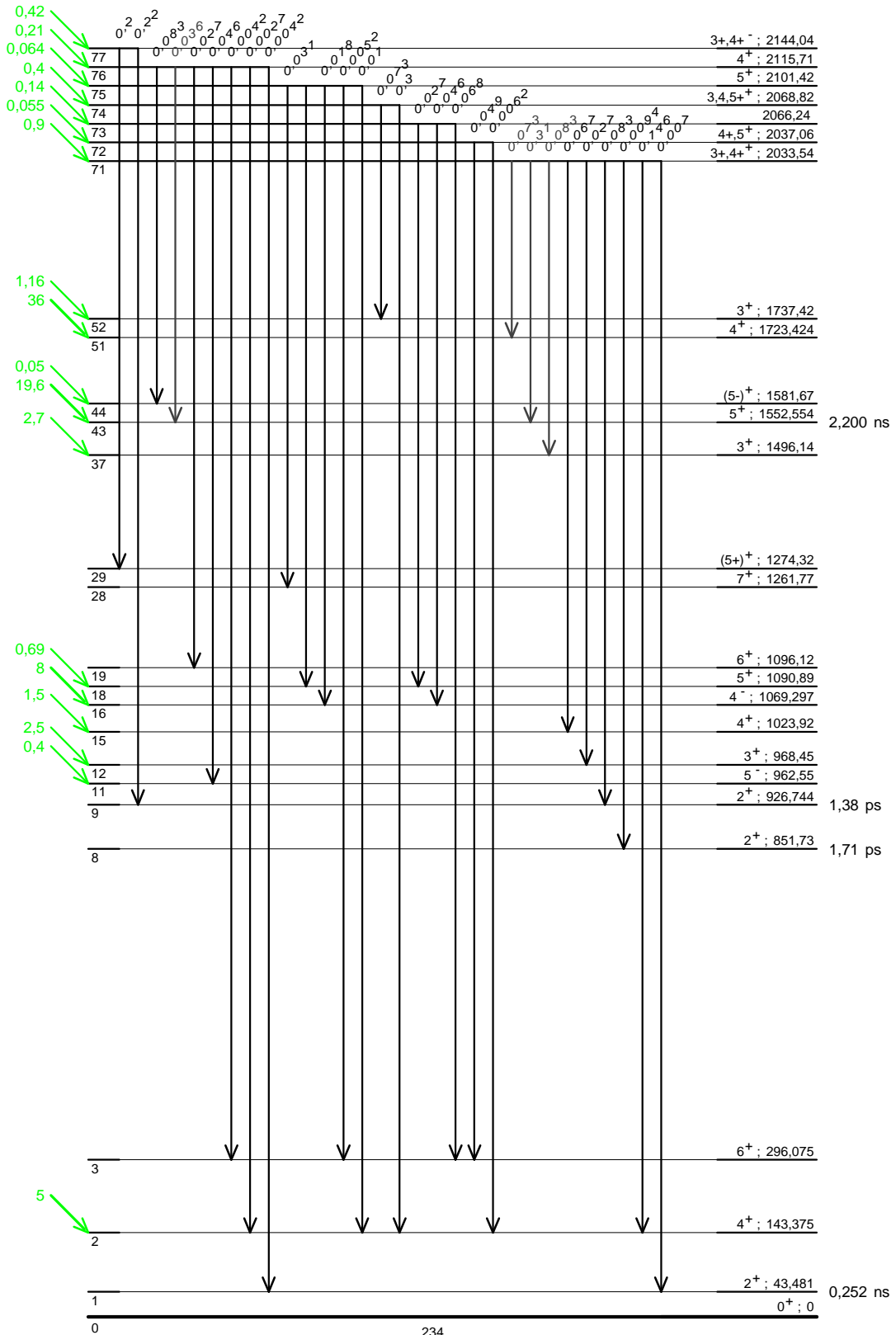
U – 238 decay chain member

7 References

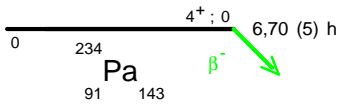
- M.CURIE, A.DEBIERNE, A.S.EVE, H.GEIGER, O.HAHN, S.C.LIND, S.MEYER, E.RUTHERFORD, E.SCHWEIDLER. Revs.Modern Phys. 3 (1931) 427
(Half-life)
- W.L.ZIJP, S.TOM, G.J.SIZOO. Physica 20 (1954) 727
(Half-life)
- S.BJORNHOLM, O.B.NIELSEN. Nuclear Phys. 30 (1962) 488
(Gamma ray energies and intensities)
- A.H.WAPSTRA. Nucl.Phys. A97 (1967) 641
(Gamma ray energies and intensities)
- A.H.WAPSTRA. Physica 37 (1967) 261
(Multipolarity, X-ray intensities)
- S.BJORNHOLM, J.BORGGREEN, D.DAVIES, N.J.S.HANSEN, J.PEDERSEN, H.L.NIELSEN. Nucl.Phys. A118 (1968) 261
(Gamma ray energies and intensities, Multipolarity)
- J.GODART, A.GIZON, J.BOUTET, R.HENCK. Compt.Rend. 267B (1968) 300
(Gamma ray energies and intensities)
- T.E.SAMPSON. Nucl.Instrum.Methods 98 (1972) 37
(Gamma ray energies)
- G.ARDISSON, C.ARDISSON. Radiochem.Radioanal.Lett. 21 (1975) 357
(Gamma ray energies and intensities)
- C.ARDISSON, J.DALMASSO, G.ARDISSON. Phys.Rev. C33 (1986) 2132
(Gamma ray energies and intensities)
- H.L.SCOTT, K.W.MARLOW. Nucl.Instrum.Methods Phys.Res. A286 (1990) 549
(Gamma ray emission probabilities)
- E.SCHINFELD, H.JANBEN. Nucl. Instrum. Meth. Phys. Res. A369 (1996) 527
(Atomic data)
- Y.NIR-EL. Radiochim.Acta 88 (2000) 83
(Gamma ray energies and intensities)
- I.M.BAND, M.B.TRZHASKOVSKAYA, C.W.NESTOR, JR., P.O.TIKKANEN, S.RAMAN. At.Data Nucl.Data Tables 81 (2002) 1
(Theoretical ICC)
- G.AUDI, A.H.WAPSTRA, C.THIBAUT. Nucl. Phys. A729 (2003) 129
(Q)
- F.S.AL-SALEH, AL-J.H.AL-MUKREN, M.A.FAROUK. Nucl.Instrum.Methods Phys.Res. A568 (2006) 734
(Gamma ray energies, and emission probabilities)
- E.BROWNE, J.K.TULI. Nucl.Data Sheets 108 (2007) 681
(NDS)



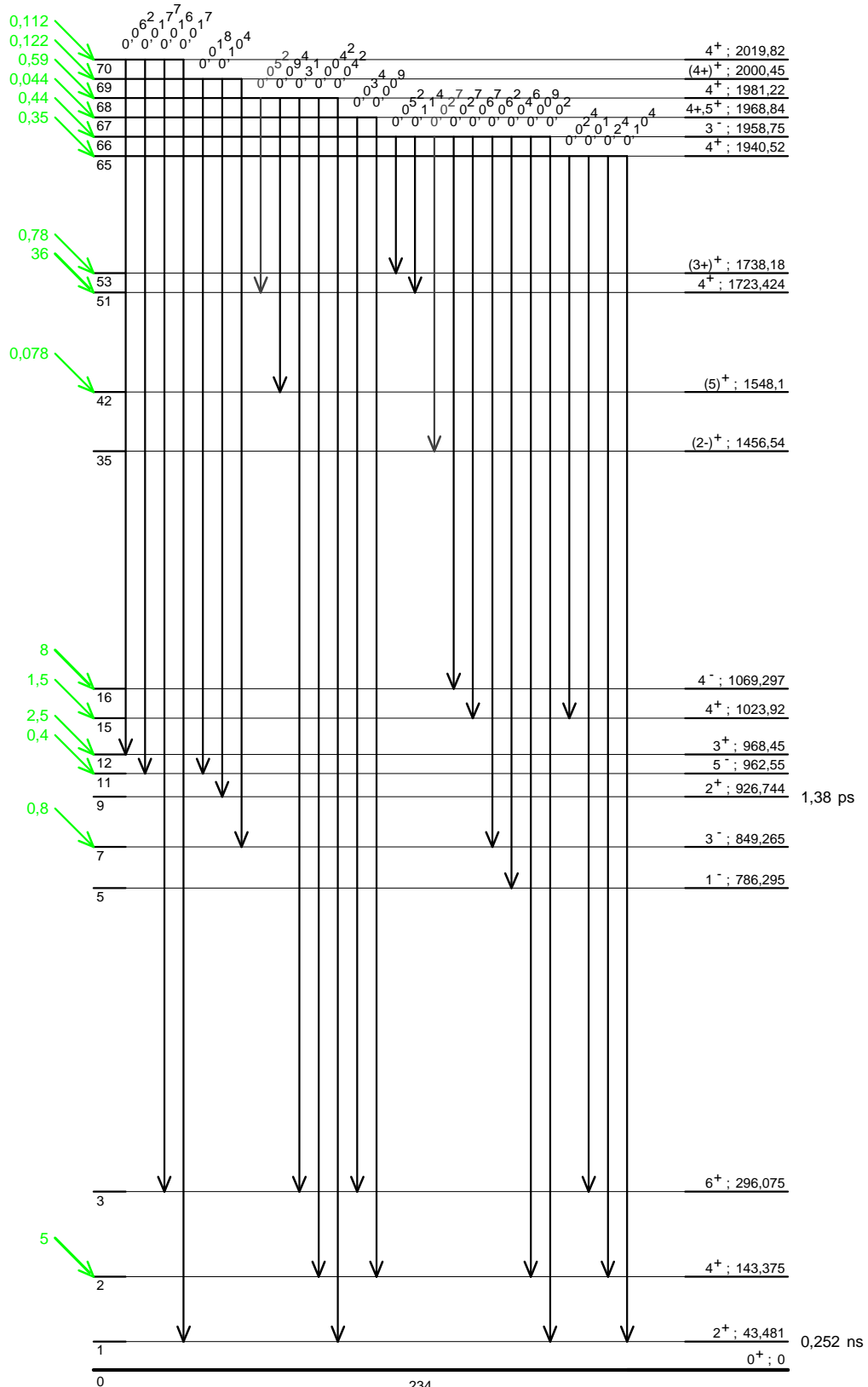
γ Emission intensities per 100 disintegrations

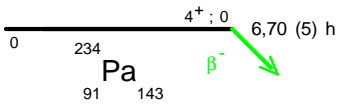


²³⁴U₉₂¹⁴²
Q⁻ = 2195 keV
% β⁻ = 100

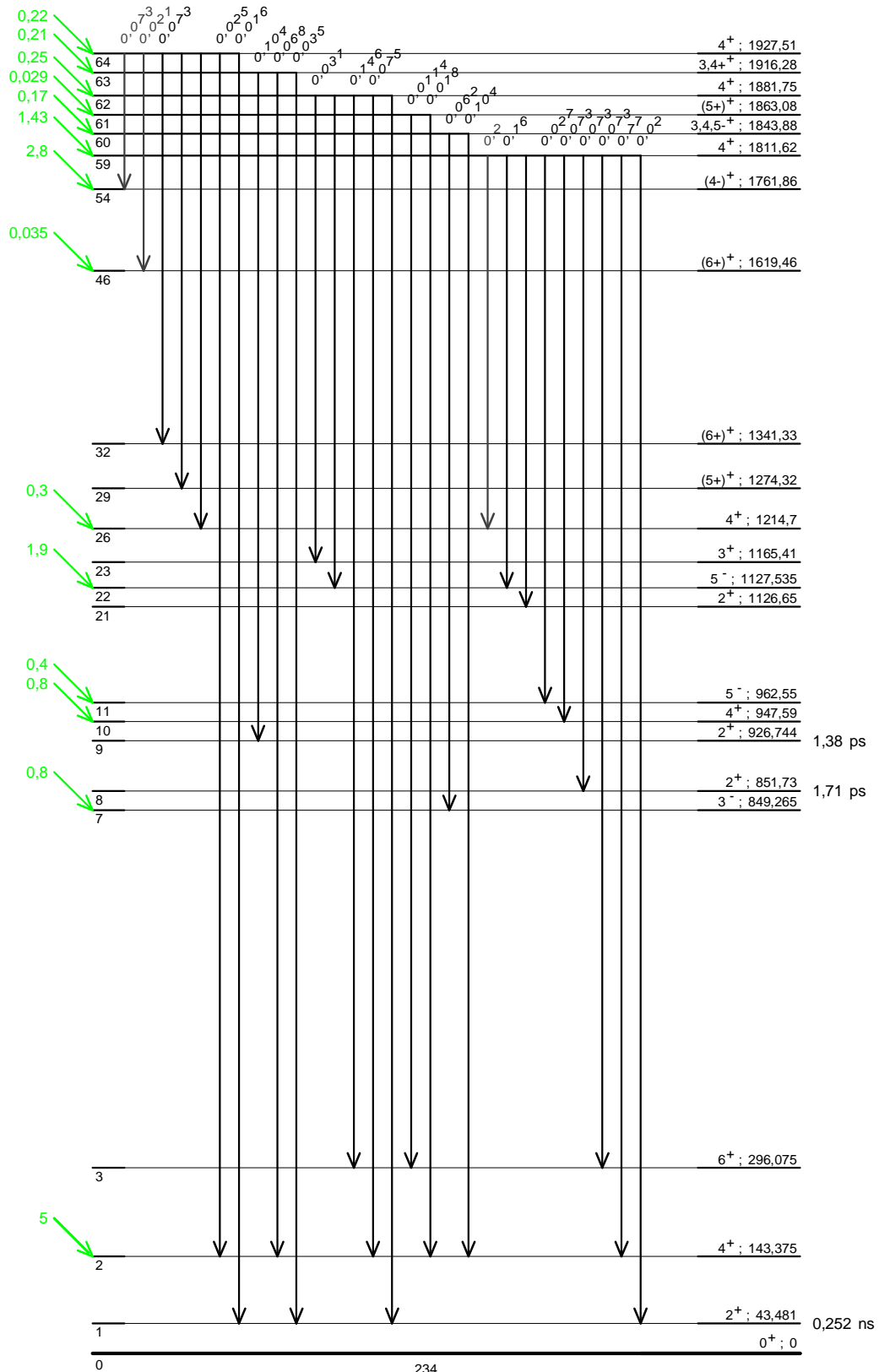


γ Emission intensities per 100 disintegrations

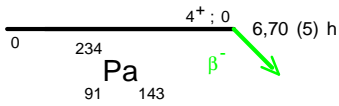




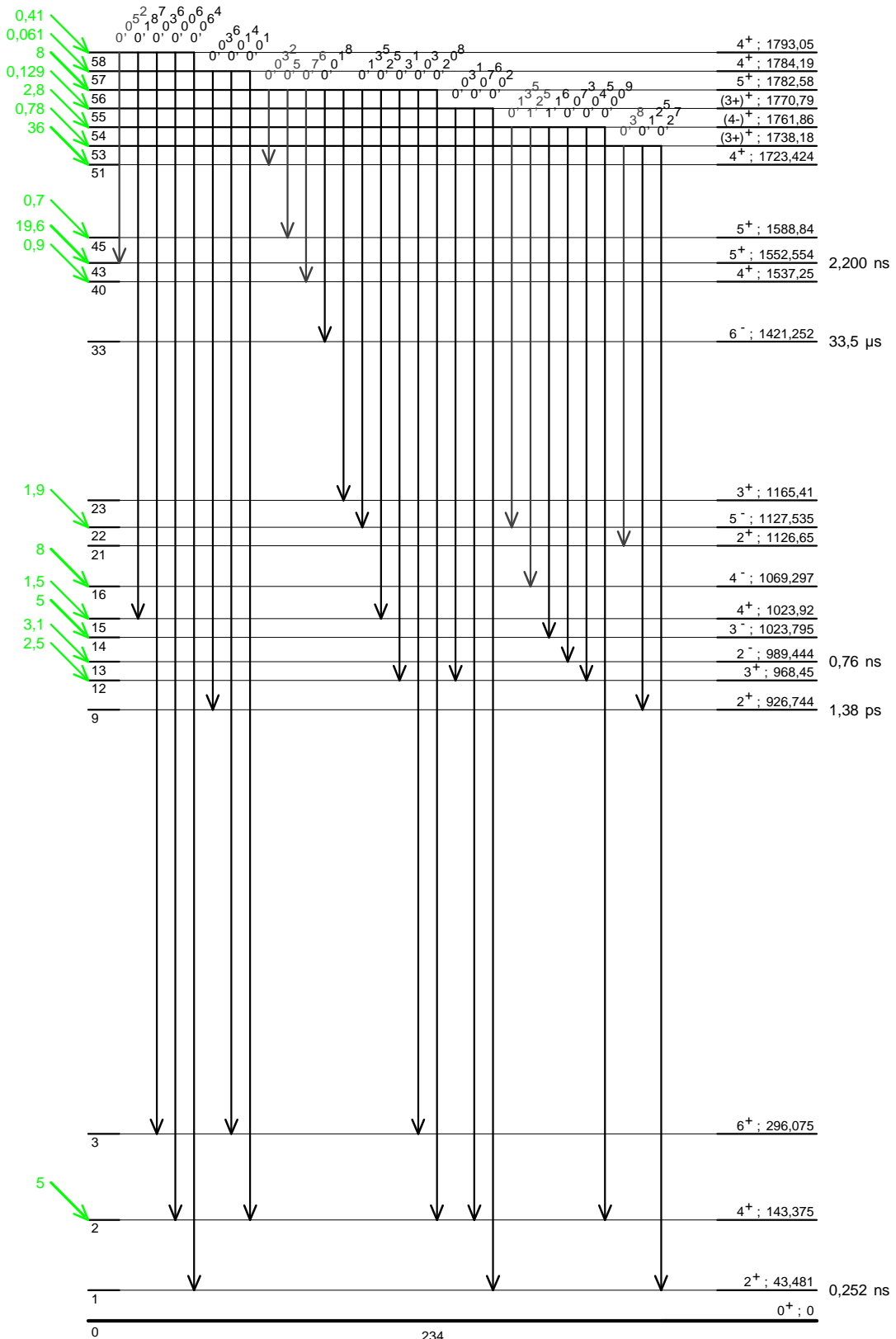
γ Emission intensities per 100 disintegrations



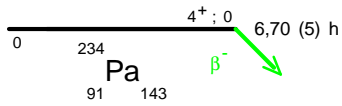
²³⁴U_{92 142}
Q⁻ = 2195 keV
% β⁻ = 100



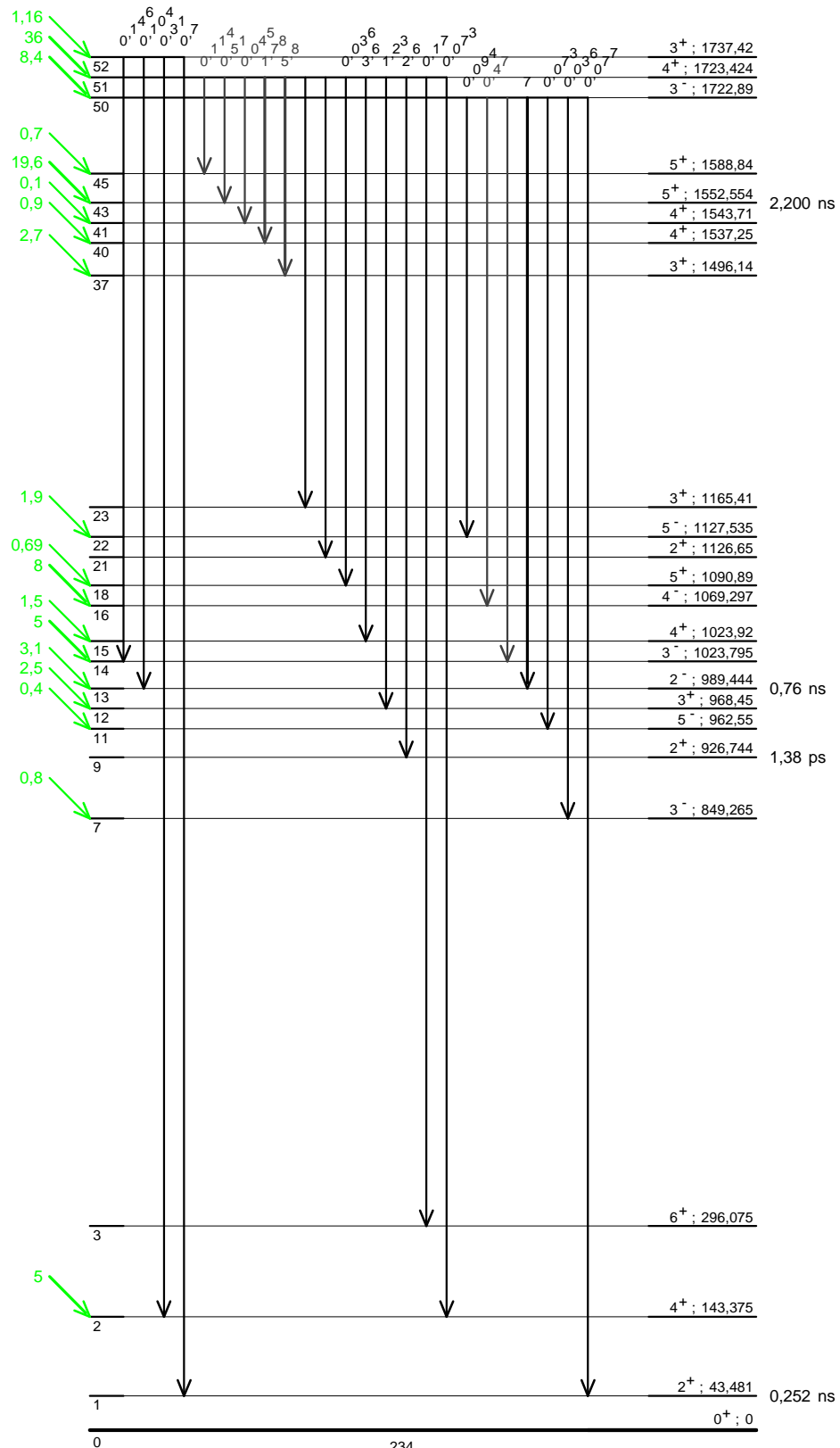
γ Emission intensities per 100 disintegrations



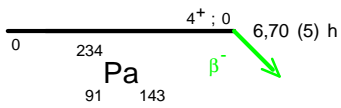
²³⁴U
92 142
Q⁻ = 2195 keV
% β⁻ = 100



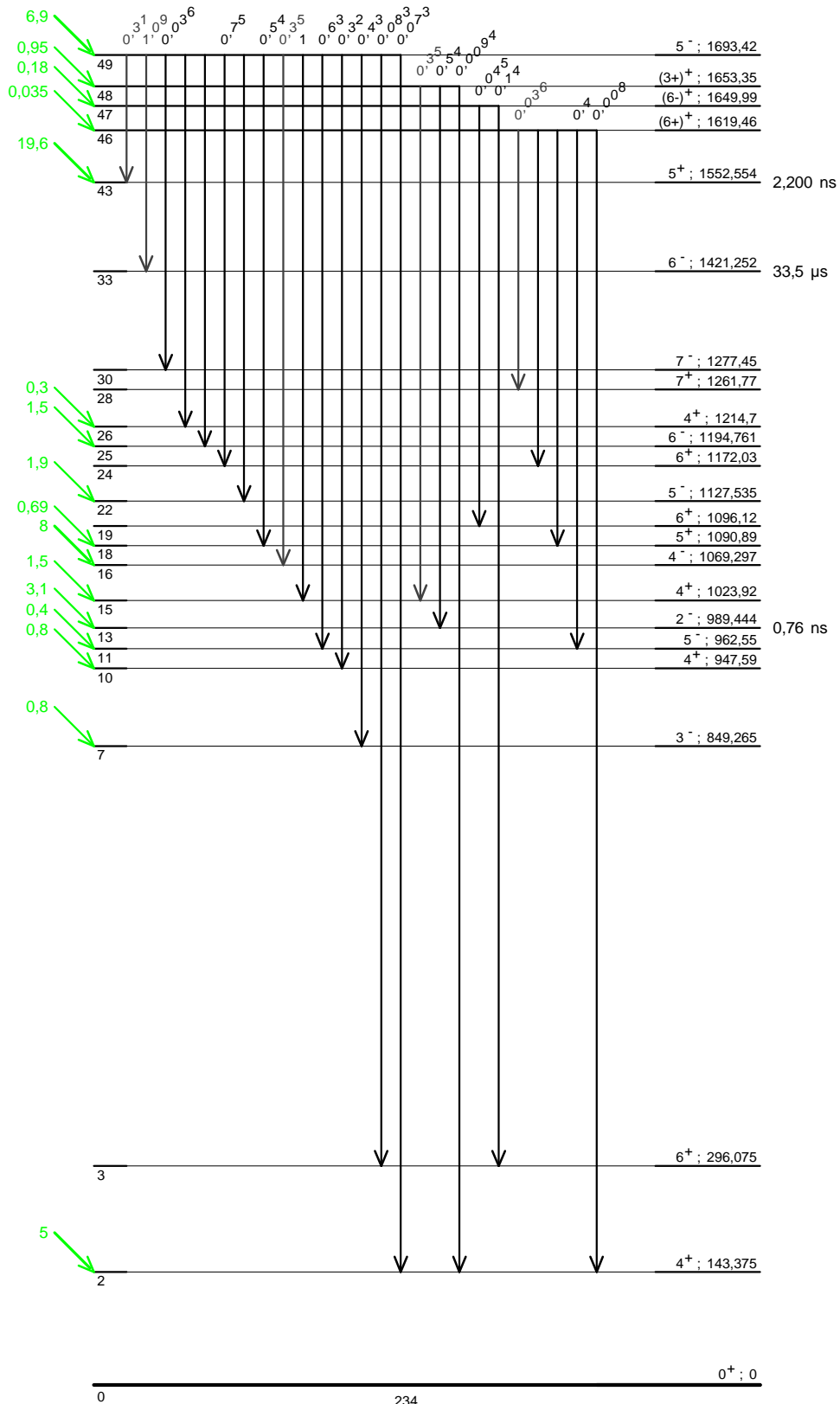
γ Emission intensities per 100 disintegrations

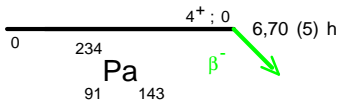


$^{234}_{92}\text{U}$
 $Q^- = 2195 \text{ keV}$
 $\% \beta^- = 100$

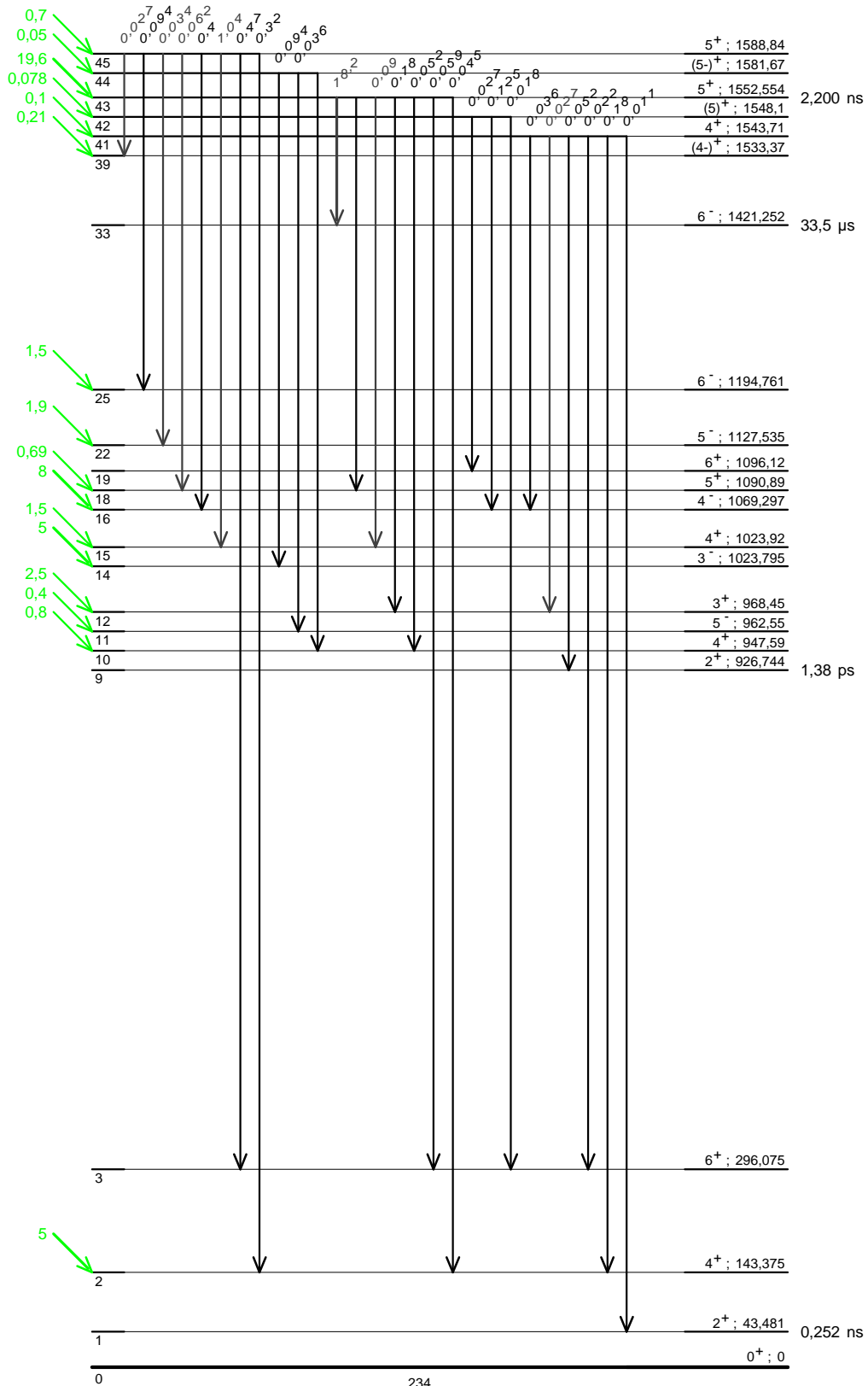


γ Emission intensities per 100 disintegrations

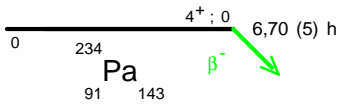




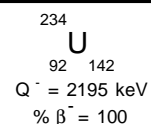
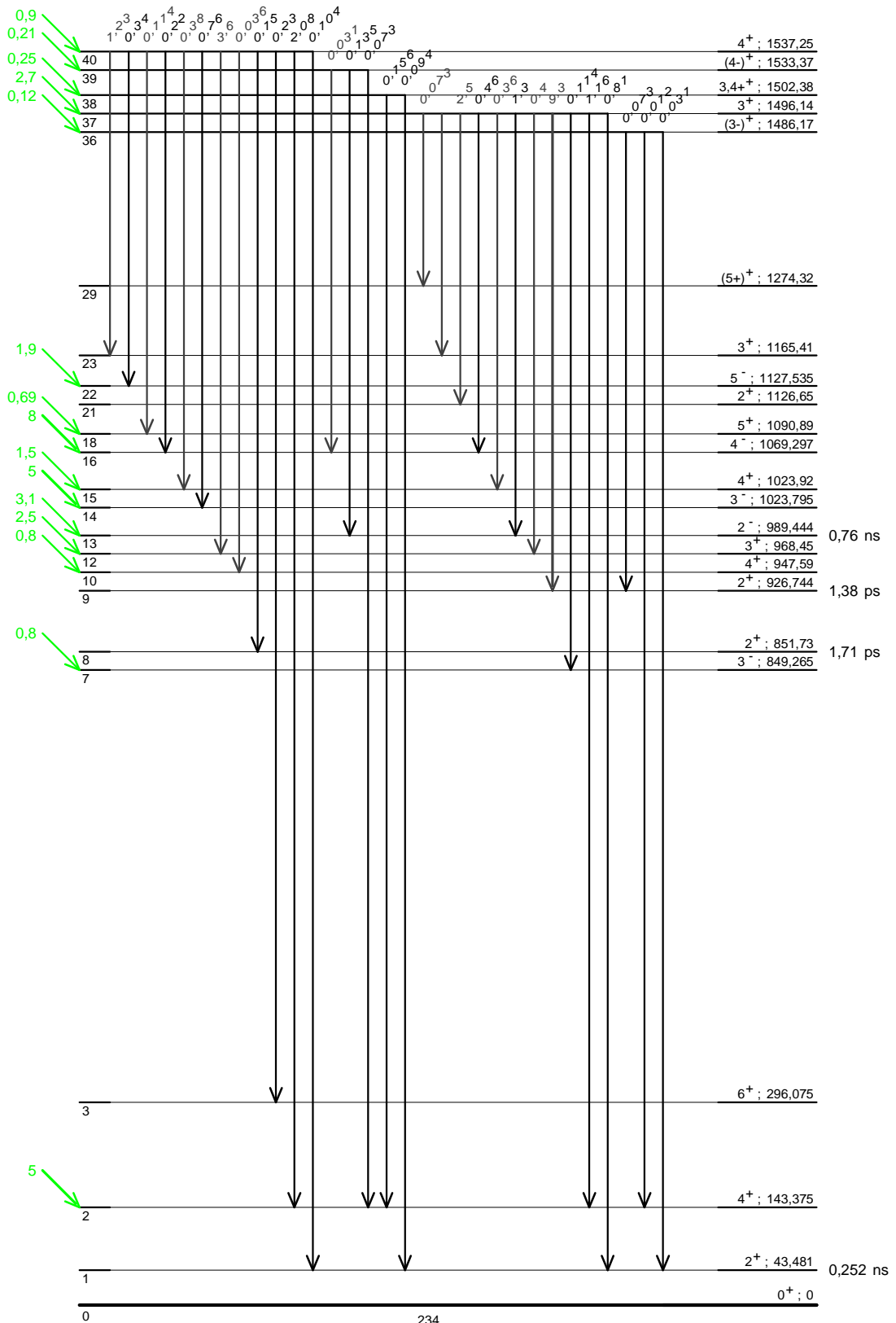
γ Emission intensities per 100 disintegrations

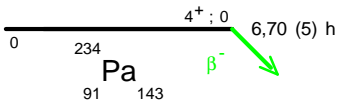


²³⁴U ₉₂ 142
 Q⁻ = 2195 keV
 % β⁻ = 100

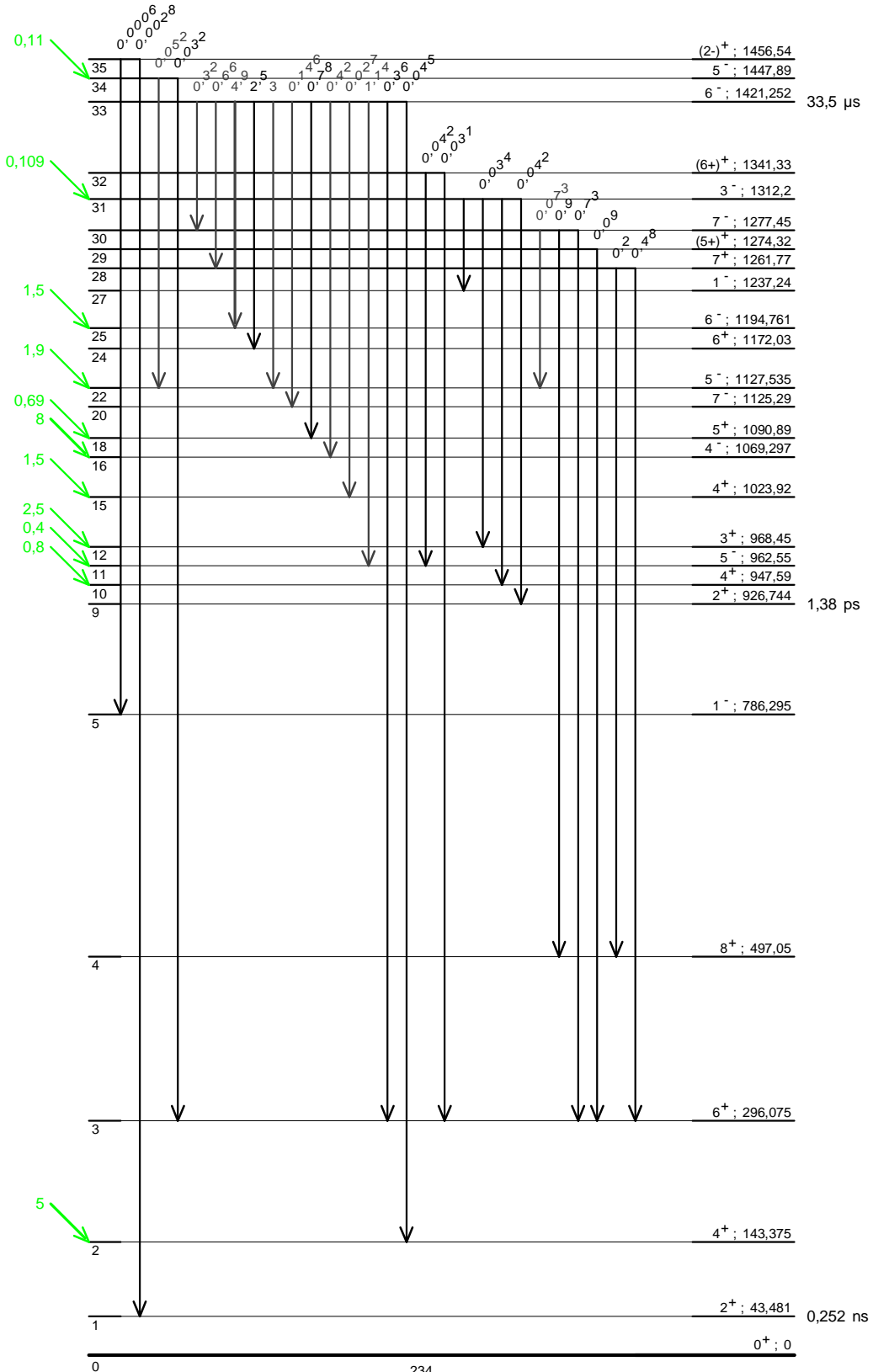


γ Emission intensities per 100 disintegrations

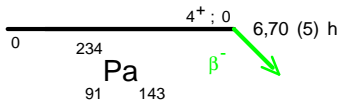




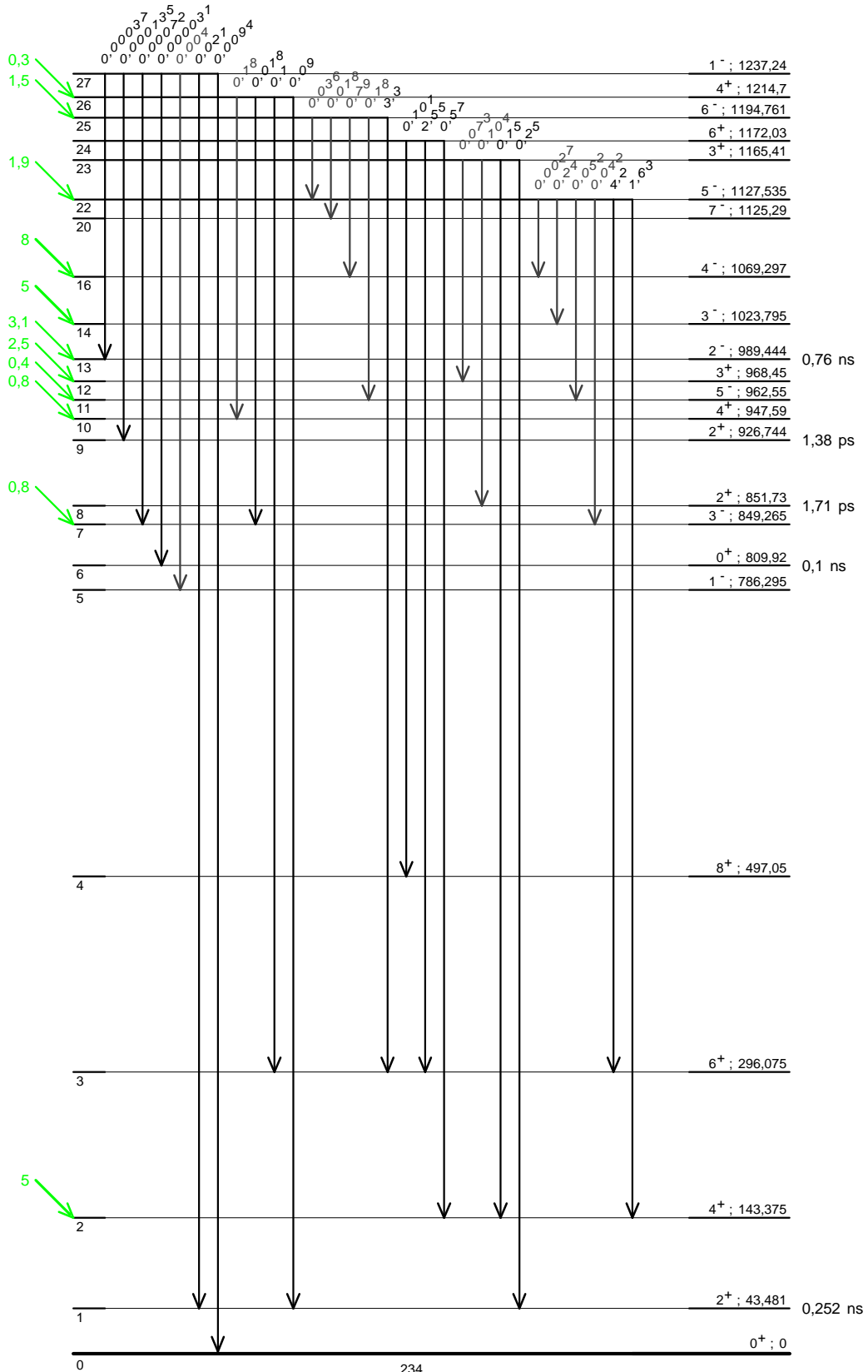
γ Emission intensities per 100 disintegrations



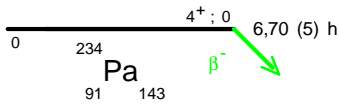
²³⁴U_{92 142}
Q⁻ = 2195 keV
% β⁻ = 100



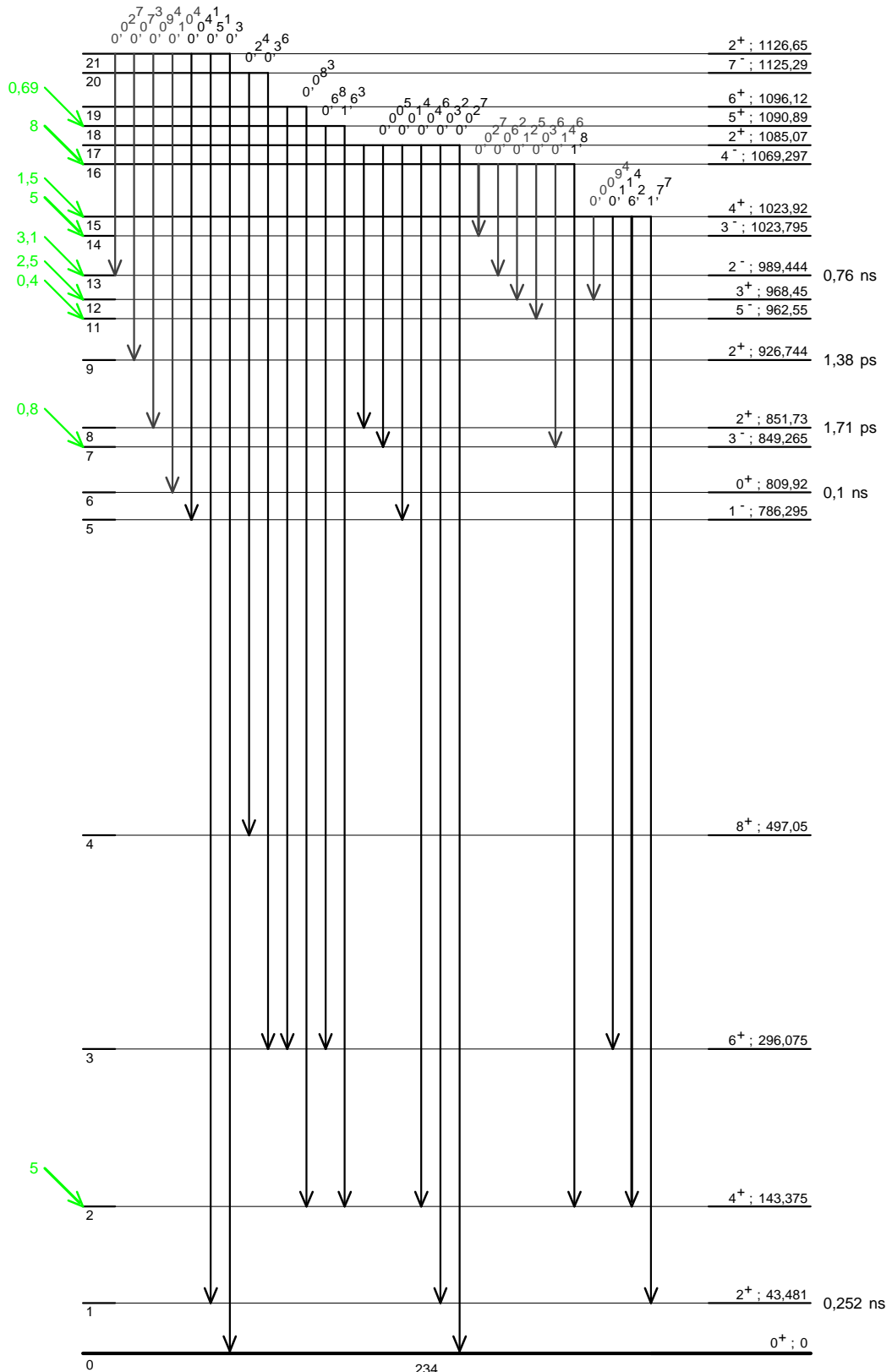
γ Emission intensities per 100 disintegrations



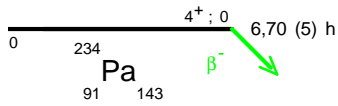
²³⁴U_{92 142}
Q⁻ = 2195 keV
% β⁻ = 100



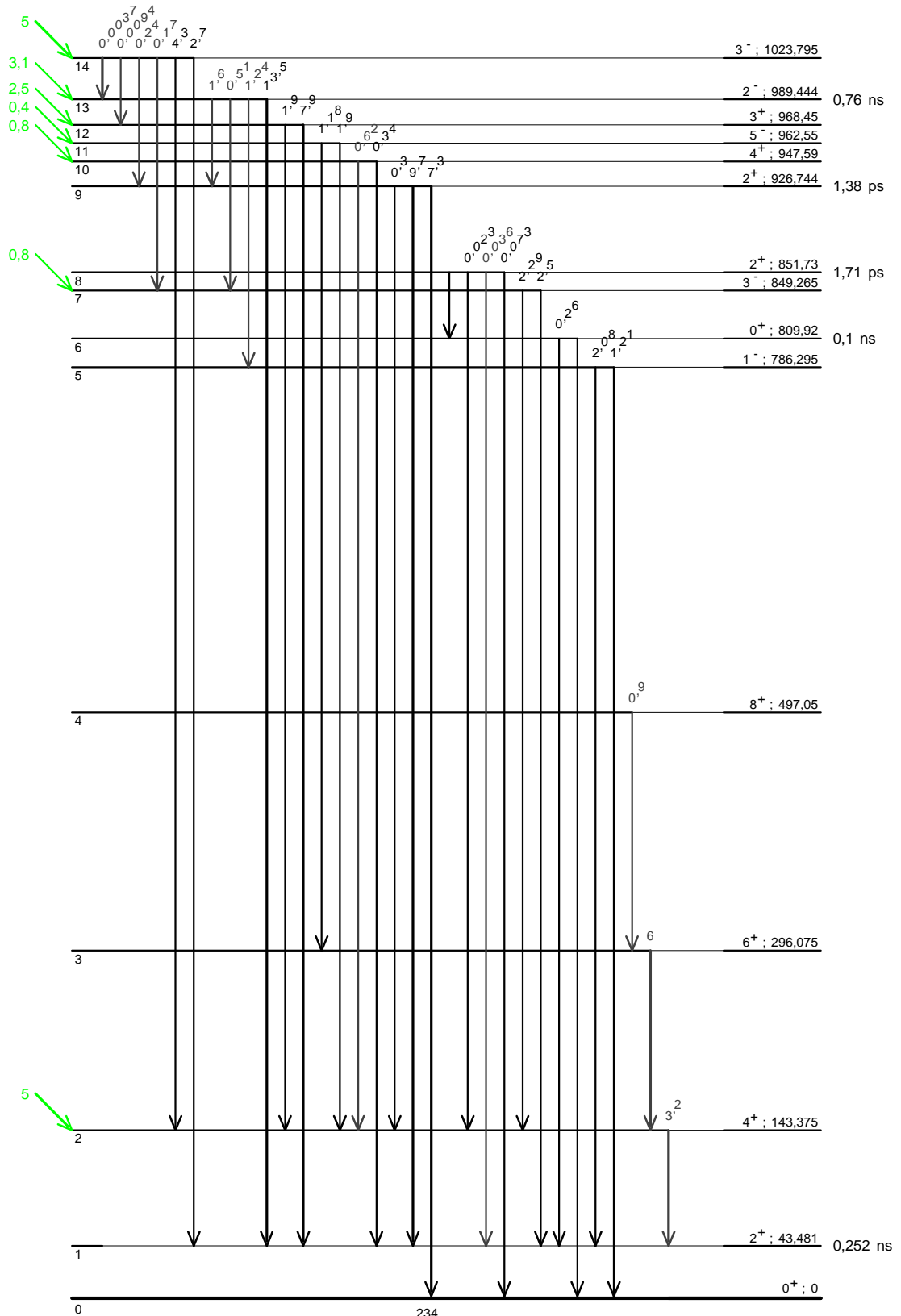
γ Emission intensities per 100 disintegrations



²³⁴U_{92 142}
Q⁻ = 2195 keV
% β⁻ = 100



γ Emission intensities per 100 disintegrations



²³⁴U
92 142
Q⁻ = 2195 keV
% β⁻ = 100

